

Economia de la Nación de Industria y Mineria taria de Mineria



GEOLOGIA Y PETROGRAFIA DEL VOLCAN

PAYTIN MATRU

Por

Eduardo J. Llambias

1965

Pág.

Economía de la Nación o de Industria y Minería etaría de Minería



INDICE

INTRODUCCION
1) Naturaleza del trabajo
2) Métodos empleados
3) Ubicación de la comarca estudiada
4) Antecedentes
FISIOGRAFIA
GEOLOGÍA
Clasificación de las unidades morfolitológicas del volcan
Aparato volcánico central
Andesitas y traquiandesitas de La Nariz
Basaltos del Mollar
Traquitas de La Calle
Hialotraquitas de La Explanada
Aparatos volcánicos adventicios
Basal os de La Media Luna
ED AD
ESTRUCTURA Y GEOMORFOLOGIA
Estructura del aparato volcánico central
Forma de los escoriales traquíticos e hislotraquíticos
Forma de los escoriales basálticos
PETROGRAFIA
Basaltos olivinicos
Andesitas y traquiandesitas
Traquitas
Hialotraquitas
MECANISMOS DE FLUJO
PEGRILORDO DE FEUGUSSISSISSISSISSISSISSISSISSISSISSISSISSI
Tobas de aglutinación densa
Traquitas e hialotraquitas
Basaltos
PETROLOGIA
Secuencia del vulcanismo
Evolución de los minerales
Peldespates
Piroxenos
Diagramas de variación



DE ESTADO DE INDUSTRIA Y MINERIA

JTO NACIONAL DE GEOLOGIA Y MINERIA

Avdo. JULIO A. ROCA 651 - PISO 6°

CAPITAL FEDERAL

Compound in on other and	pág.
Comparación con otras arenas Petrogénesis	60
CLONCLUSIONES	
LISTA DE LOS TRABAJOS CITADOS EN EL TEXTO	



DE ESTADO DE INDUSTRIA Y MINERIA
TO NACIONAL DE GEOLOGIA Y MINERIA
wda. JULIO A. ROCA 651 - PISO 6°
CAPITAL FEDERAL

INTRODUCCION

1) Métodos empleados

El trabajo de campaña fué realizado entre los meses de febrero y abril de 1962. El relevamiento geológico se efectuó sobre una topografía de la Dirección Nacional de Geología y Minería. Posteriormente el mapa geológico fué volcado sobre una base topográfica en escala 1:50.000, confeccionada a base de fotografías aéreas, que luego fué reducida fotográficamente a 1:100.000. Para este trabajo se recorrió la totalidad del aparato volcánico y se extrajeron alrededor de 220 muestras de los escoriales y demás unidades, tomadas a lo largo y ancho de cada escorial y cuando se pudo también en sucesión vertical.

En el trabajo de gabinete se utilizaron unos 150 cortes transparentes, determinándose los minerales por diversos métodos: a) Indice de refracción. Se midieron los índices de refracción, con una aproximación entre 0,003 y 0,005 en los feldespatos, y de 0,005 y 0,01 en piroxenos y olivinas respectivemente. La diferencia entre estos dos últimos minerales se debe a que algunas olivinas presenten índices de refracción mayores que 1.70 y se debieron utilizar diversas mezclas de (bromo naftoleno con yoduro de metileno las que eran medidas previemente con goniómetro de prisma hueco En los demás casos el mineral molido era colocado en un portaobjeto en donde eran mezclados dos líquidos distintos hasta alcanzar el indice de refracción del mineral, siendo medida entonces inmediatamente la mezcla de los líquidos, en un refractómetro tipo Abbe. En el caso de minerales con índices mayores a 1.70, los líquidos de inmersión preparados con intervalos de 0,01 eran comparados directamente



TUTO NACIONAL DE GEOLOGIA Y MINERIA

Avda. JULIO A. ROCA 651 - PISO 6°

CAPITAL FEDERAL

- 2 -

con el mineral en cuestión. En todos los casos se utilizó luz de sodio. b) Angulo 2V: se utilizó una platina universal de 4 ejes, con la que se midieron los ángulos e de los climopiroxenos. c) Rayos X: fueron empleados para la determinación de los feldespatos alcalinos. Se utilizó un glniómetro de difracción Philips del Departamento de Ciencias Geológicas de la Facultad de Ciencias Exactas y Naturales, empleando cuarzo como material stendard. Los feldespatos fueron determinados por medio de las curvas de Tuttle y Bowen (1958, p. 13) que establecen la relación entre 201 de los feldespatos alcalinos y 1010 de cuarzo.

Se realizaron doce análisis químicos de muestrasn representativas. Ocho de ellas fueron hechas en la Dirección Nacional
de Geología y Minería y las restantes en el laboratorio de Análisis
de Rocas dependiente de la Facultad de Ciencias Exactas y Naturales
y del Consejo Nacional de Investigaciones Científicas y Técnicas.

2) Ubicación de la comarca estudiada

El volcán Payun Matru se halla situado en la parte sud de la provincia de Mendoza, al sudeste de la población de Malargue (ver fig. 1).

La comarca estudiada se halla delimitada por los meridiano 69º23' y 59º55' de longitud ceste de Greenwich y por lo paralelos 36º12' y 36º30' de latitud sur.

Abarca una superficie de unos 1.200 km2.

3) Antecedentes

La parte occidental del volcán está dentre de la Hoja 30a "Puntilla de Huincan" del mapa Geológico-Económico de la República Argentina, estudiada por Groeber (1937).



TO NACIONAL DE GEOLOGIA Y MINERIA

Wdo. JULIO A. ROCA 651 - PISO 6°

CAPITAL FEDERAL

- 3 -



Fig. 1 - Mapa de ubicación del volcán Payun Matru.

Este eutor distingue las siguientes unidades, que se pueden sintetizar en las siguientes: 1) Domo de composición andesítica, el cual se habría formado entre los basaltos 2 y 3 de su denominación (Greeber, 1933), llegando sus erupciones posiblemente hasta algo posterior al Basalto 4; 2) Un somma originado por una explosión que deshace la parte superior del domo y da origen a una toba de explosión que se deposita a lo largo de una extensa superficie. "Esta explosión es posterior a los Basaltos 3 y 4 porque las tobas de explosión se recuestan contra el faldeo basáltico del volcán Payun y se asient n on el Basalto 3 del camino que conduce de Coehué-Co a Jagüel Amari-llo, en el punto donde se junta con el camino que procede de Banquil-Co a Los Banquiles. Además ésta explosión es posterior e los depósitos moránicos más antiguos de la ladera orientel de la altiplanicie tos moránicos más antiguos de la ladera orientel de la altiplanicie to



A DE ESTADO DE INDUSTRIA Y MINERIA UTO NACIONAL DE GEOLOGIA Y MINERIA Avdo. JULIO A. ROCA 651 - PISO 6°

- 4 -

del Payun..."; 3) Basalto 5, una de las primeras efusiones despues de la explosión, que se extiende cubriendo una gran área en la ladera occidental del Payun Matru; 4) Escoriales traquíticos, algunos de los cuales poseen en su composición anortoclasa; 5) Basaltos 6 y 7; 6) Obsidiana y piedra pomez.



UTO NACIONAL DE GEOLOGIA Y MINERIA

Avda. JULIO A. ROCA 651 - PISO 6°

CAPITAL FEDERAL

- 5-

FISIOGRAFIA

El volcán Payun Matru se levanta en una llanura desertica, cubierta por grandes derrames de basalto, Polanski (1954, pág. 9) ha denominado a esta llanura Payenia, a la que considera una "Patagonia mendocina". Payenia, nombre volcánico derivado del grupo volcánico Payen (o Payunl), limita a la altura de la laguna Llancanelo con la depresión de Los Huarpes y por el sur pasa a la provincia de Neuquén limitando con la cuenca neuquina; al occidente se encuentra la cordillera principal y al oriente la porción sur del bloque de San Rafael.

La región no posee una red de drenaje definida, los pequeños cauces, que son frecuentemente sepulta os por depósitos eólicos, desembocan en cuencas cerradas donde forman pequeños barreales.

El volcán Payun Matru se eleva unos 2.000 m sobre esta llanura y presenta una depresión en us centro que es la caldera. Los flancos occidentales y orientales están cubiertos por innumerables conos volcánicos adventicios, de los cuales los Morados Grandes tienen el mayor desarrollo. Estos poseen cinco bocas de erupción, de las que se han derramado enormes coladas. Otros volcanes adventicios son: Cº Negro, Cº La Escoria, Cº Barda, Cº Buitrera, etc. que se encuentran en la ladera oriental. En el flanco occidental es importante el Cº Los Caballos y otros que no tienen nombre.

Hacia el sudoeste de este macizo volcánico se yergue aislado el cono erguido de Payún (-Payen Liso), separado del Payún Matrú por un portezuelo, Portezuelo de los Payunes, al norte del cual existe otro volcán pero mucho más pequeño.

Economía de la Nación de Industria y Minería taría de Minería



- 6 -

En la porción nor-noreste de la caldera del Payún Matrú hay una laguna, de unos 300 m de diámetro, alimentada por las
nevadas de invierno y las lluvias de verano, pero que llega a secarse durante los años que la precipitación es infima. En las lade
ras se encuentra agua de lluvia acumulada en las hondonadas formadas dentro de la toba.

Las pendientes que miran al poniente y naciente son suaves, mientras que las que miran al sur y al norte son empinadas debiendose esto último a la ausencia de vulcanismo adventicio.

Economía de la Nación de Industria y Minería taría de Minería



- 7 -

GEOLOGIA

CLASIFICACION DE LAS UNIDADES MORFO-LITOLOGICAS

DEL VOLCAN

En el volcán Payún Matrú se distinguen dos tipos distintos de vulcanismo. Uno, central, está directamente relacionado a una chimenea principal, que dió origen a la estructura mayor del volcán. El otro es adventicio y se localiza en las laderas occidentales y orientales de aquel. En cada uno se distinguen las siguientes unidades, comenzando en cada caso por las más antiguas.

1) APARATO VOLCANICO CENTRAL

- a) Andesitas y traquiandesitas de La Nariz Constituyen el cuerpo principal del aparato volcánico central. Solamente su parte superior está expuesta. Asociados a estas rocas, y debajo de ellas, aparece un manto basáltico, que por sus afloramientos muy poco extensos juega un papel insignificante, comparado con las andesitas y traquiandesitas que predominan en las constitución de este cuerpo. Traquitas son, asimismo, poco abundantes. Corresponde al "Domo andesitico" de Groeber, (1937).
- b) Tobas del Portezuelo ubren extensas superficies y es una roca guía para la datación de edades relativas. En el Huaico de la Fortuna y en la parte superior de la Quebrada de la Cueva ésta toba posee un aglutinamiento muy denso y se asemeja a una roca vitrofírica. Corresponde en parte a las "tobas de explosión" mapeada por Groeber en la Hoja 30c. Puntilla de Huincan (1937), ya que él no consideró las tobas de aglutinación densa, por no aparecer en la hoja.

de Economía de la Nación stado de Industria y Minería secretaría de Minería



- 8 -

- c) <u>Basaltos del Mollar</u>- Son las primeras efusiones que se produjeron después de la formación de la caldera. Tienen gran extensión y afloran en su mayor parte en la ladera occidental del volcán, en donde Groeber (1937) lo mapeó con Basalto 5, que denominó posteriormente Puentelitense (Groeber, 1946). El basalto se encuent tra parcialmente pulido por el viento y cubierto parcialmente por los depósitos eólicos.
- d) Traquitas de La Calle Constituyen escoriales bien definidos no erosionados ni cubiertos por depóstios eólicos. Sus chimeneas se encuentran en su mayor parte a lo largo de los bordes occidentales y meridionales de la caldera. Corresponde en parte a las "Traquitas de Groeber" 1937.
- e) Hialotraquitas de la Explanada. Son de edad subreciente. Están formadas per coladas y material piroclástico, per lo cual
 se la separa en dos subunidades. El material piroclástico forma el
 borde oeste y sur de la caldera y es de naturaleza pumícea. Las
 coladas constituyen escoriales bien definidos, constituidos por rocas vítreas de color negro (piedra pómez y obsidiana de Groeber,
 1937). Son más modernas que el material piroclástico.

2) APARATOS VOLCANICOS ADVENTICIOS

f) Basaltos de Los Morados Grandes - Son basaltos olívínicos anteriores a las tobas del Portezuelo y posteriores a las andesitas y traquiand sitas de La Nariz. Sus afloramientos son muy dispersos, por lo cual no se ha podido individualizar sus diversos escoriales, siendo también muy difícil la ubicación de sus chimeneas. ie Economía de la Nación ado de Industria y Minería cretaría de Minería



- 9 -

g) <u>Basaltos de La Media Luna</u> - Poseen conos piroclasticos totalmente conservados y en sus escoriales no se observan los
efectos de la erosión. En la Hoja 30c "Puntilla de Huincán" Groeber,
(1937) asignó a algunos escoriales como Basalto 6 y a otros como
Basalto 7, (denominados posteriormente Groeber 1946), como Tromenlitense inferior y superior respectivamente, En este trabajo no se
hizo esta distinción entre ambos.

le Economía de la Nación ado de Industria y Minería cretaría de Minería



APARATO VOLCANICO CE TRAL

ANDESITAS Y TRAQUIANDESITAS DE LA NARIZ

Las Andesitas y Traquiandesitas de La Nariz representan la porción superior del aparato volcánico central. Se encuentran
por debajo de las Tobas del Portezuelo y no se conoce su base. El
nombre de esta unidad fué tomado del Cº La Nariz, el lugar más alto
de la zona, y donde se puede observar un perfil relativamente desarrollado.

Los afloramientos constituyen el borde oriental de la caldera desde la Punta Alta Sur hasta El Huecú. Por el nordeste se extienden hasta Los Morados Grandes, al norte de los cuales aparecer mogotes aislados de estas rocas, que emergen por encima de los Basal: tos de Los Morados Grandes, que no han alcanzado a cubrirlos. En la ladera occidental los afloramientos son de reducida extensión debido a que estas rocas se encuentran cubiertas por las efusiones de las Traquitas de La Calle y las Hialotroquitas por la Explanada.

En el perfil que se observa en La Nariz se puede apreciar una sucesión de mantos lávicos y brechosos que alternan con pequeños lentes sedimentarios de color rojózamarillento, constituídos en general por areniscas conglomerádicas, con cenizas y rodados del mismo volcán. Tanto los mantos lávicos como las brechas presentan una misma coloración pardo rojizo a gris.

Asimismo la composición de las rocas es semejante en ambos. Los clastos de los mantos brechosos son de formas esferoidales con superficies escoriaceas y poseen un tamaño variado, alcanza do a medir los individuos mayores un diámetro de unos 25 cm.

de Economía de la Nación tado de Industria y Minería ecretaría de Minería



- 11 -

En ambos casos las rocas son porfíricas, destacándose los fenocristales de plagioclasa por su relativa abundancia, su tamaño (5 mm) y su hábito tabular. Los fenocristales de piribol son de menor tamaño (2-3 mm) y mucho menos abundantes. La pasta es afanítica microvesicular.

En el Filo Blanco las rocas poseen una coloración más clara y no se observa la presencia de mantos brechosos. Son traquitas porfíricas con fenocristales bien desarollados de sanidina (5-7 mm). En la Punta Alta Sur se observa que las traquitas presentan un diaclasamiento grosero y poseen exfôtiación catafilar. Se trata posiblemente de un domo tapón.

Tanto en La Nariz, como al oeste de Cº Negro, parte de las diaclasas están rellenas por especularita.

TOBAS DEL PORTEZUELO

El primer período del desarrollo del volcán Payún Matrú, durante el cual se fermó un inmenso cono con numerosos volcanes adventicios, se vió interrumpido por una efusión de gran cantidad de material piroclástico que dió origen a los depósitos de las Tobas del Portezuelo y a una caldera de grandes dimensiones. Previo a este fenómeno hubo un período de erosión que labró valles poco abruptos en el cono primitivo (Huaico de la Fortuna, Quebrada de La Cueva, etc) cuyos relieves fueron suavizándose al depositorse en ellos el material piroclástico.

Denominamos Tobas del Portezuelo a esta unidad por encontrarse en el Portezuelo de los Payunes (entre Payún y Payún Matrú) bien expuestas y con depósitos de un espesor visible de unos 3 metros. Economía de la Nación lo de Industria y Minería retaría de Minería

posición abundante vidrio.



- 12 -

Siguiendo la clasificación de Ross y Smith (1961) y Smith (1960) estas tobas, de acuerdo al grado de compactación que presentan, se pueden dividir en dos tipos:

- 1) Tobas de aglutinación densa
- Una división análoga fué utilizada por Polanski (1963, pág. 189) para describir las tobas aglutinadas del valle de Tunuyán. En la zona de la mina La Valenciana, Malargüe (Mendoza) han sido descriptas tobas de aglutinación densa (ignimbritas) por González Bonorino (1944). Si bien estos dos tipos mencionados corresponden a un mismo período de actividad volcánica, las tobas de aglutinación densa se dintinguen facilmente de la otra unidad, porque sus depósitos que se circunscriben a las áreas próximas a la caldera, tienen

Estos tipos de depósitos que presentan analogías con las lavas, han sido denominados más especificamente por Rittman (1962, p. 81) como "recignimbritas" y por Choubert (1963) "ignimulsitas". La diferencia se ha hecho también para los depósitos de Arme nia, denominándolos "tuffolava" (Shirinian, 1963, Vlodavetz, 1963).

el aspecto de coladas y las rocas que son compactas poseen en su com-

Los depósitos del segundo tipo, cubren en cambio áreas más extensas y las rocas, algo porosas, no poseen aspecto vítreo. Cubren además, a las primeras (Huaico de La Fortuna).

corresponden a distintas zonas de enfriamiento y soldamiento de un mismo paquete piroclástico, sino que fueron depositadas separada ente, pero durante el mismo momento eruptivo.



- 13 -

En los dos tipos la composición traquiandesítica se mantiene constante.

Tobas de aglutinación densa. - Los depósitos formados por las tobas de aglutinación densa están constituídos por rocas de textura porfírica, con abundante pasta vítrea de color negro. Su distribución areal está circunscripta a las laderas orientales del aparato volcánico central. El afloramiento más alejado de este se encuentra al sudeste del Portezuelo de los Payunes (localidad que no figura en el mapa) donde aparece con la forma de semiesferas de unos 3 a 5 metros de diámetro, cubiertas en forma periclinal por las tobas de aglutinación parcial. Los principales afloramientos se hallan en las laderas norte y este, como por ejemplo, al este del Huecú, Huaico de la Fortuna, Quebrada de la Cueva, etc.

Por la forma de presentarse en el terreno se las puede subdividir en dos tipos:

- 1) Depósitos del fondo de los valles
- 2) Depósitos de laderas y cumbres

En los dos tipos de depósitos el aspecto de las muestras es semejante. Se diferencian solamente por su distinta morfología, la que está condicionada por la topogr fía previa a la deposita ción del material.

Los depósitos del fondo de los valles, se observan claramente en la Quebrada de la Cueva y el Huaico de la Fortuna, donde alcanzan unos 50 m de espesor, una longitud de 6 km y un ancho de 1,5 km. En la última localidad mencionada se puede observar que el depósito tiene la forma de una len ua que se expande lateralmente, e Economía de la Nación do de Industria y Minería retaría de Minería



- 14 -

formando lóbulos poco definidos a partir del estrechamiento de la quebrada, entre el Cº Negro al ceste y la porción norte del Filo Blanco al este. Esta laguna termina en forma abrupta con un paredón subvertical semejante al de los escoriales traquíticos (veáse abajo). En su superficie aparecen estructuras de fluidalidad (crestas de presión) rudimentarias, consistentes en crestas y senos perpendicualres a la dirección de movimiento y convexo hacia el sentido de avance, visibles unicamente desde una altura prominente. Estas crestas de presiones son semejantes a las de los escoriales traquíticos e hialotraquíticos.

Como este tipo de depósitos es similar al de las coladas hialotraquíticas se sintetizan las diferencias entre ambos.

Tobas de aglutinacion densa del fondo de los valles.

Hialotroquitas

- 1) Crestas de presión poco marcadas.
- 2) gran cantidad de clastos líticos.
- 3) texturas pumíceas ausentes.
- 4) los fenocristales están generalmente rotos o fracturados
- 5) poseen capitas alargadas de vi drio devitrificado.
- 6) en caso de soldamiento extremo se ven seudofiletes de flujo de distinta coloración y distinto índice de refracción.

- 1) Crestas de presión muy marcadas. Siempre presentes.
- 2) clastos líticos escasos.
- 3) texturas pumiceas relativamente frecuentes, sobre todo en la superficie de la colada
- 4) fenocristales por lo común enteros
- 5) devitrificación escasa o nula
- 6) cuando el vidrio es fluidal, los filetes de flujo tienen la misma coloración e indice de refracción iguales.

Los depósitos de laderas y cumbres, como su nombre lo indica se hallan cubriendo pendientes o prominencias de relieve suaves, En contraposición con los depósitos del fondo de los valles



- 15 -

cubriendo las Andesitas y Traquiandesitas de La Nariz, en forma irregular, de modo que solamente ha sido bosquejada en el mapa, sin representar todos los afloramientos existentes a film de hacer resaltar los del aparato volcánico central. Las tobas de aglutinación dedism que componen los depós tos de laderas y cumbres presentan una exfoliación imperfecta, paralela a la superficie de deposición que hace que la roca se separe en lajas de poco grosor. Estos depósitos están conectados con el descripto anteriormente, no pudiéndose hallar ninguna separación entre ambos. La "lengua" que se halla en el Huaico de la Fortuna pasa lateralmente en la parte superior del valle hacia el presente tipo de depósito. Las diferencias que se han establecido aquí, son diferencias de la morfología de los depósitos, como se puede comprobar en las descripciones dadas. Las rocas son compectas y al igual que el tipo anterior, no presentan alteración alguna.

Tobas sin aglutinación o aglutinación parcial. En estas tobas el grado de aglutinación varía desde la leve deformación de las trizas, que da origen a una seudofluidalidad apenas marcada, hasta rocas que no poseen ningún signo de soldamiento. Se las describe bajo el título común, porque si bien se nota cierta diferenciacentre ellas -las tobas de aglutinación parcial presentan un bandeamiento que no poseen las tobas sueltas- no es facil separarlas en el terreno, ya que sus afloramientos no son contínuos y el pasaje de un tipo a otro es transicional.

Las tobas son de colores pardo rojizas, menos comunmente grises. Son relativ mente porosas y su cohesión varía desde compactas hasta casi friables. Contienen gran cantidad de clastos e Economía de la Nación do de Industria y Minería retaría de Minería



- 16 -

líticos, consanguineos de basaltos, andesitas, traquiandesitas e ignimbritas. Estos últimos no son muy abundantes pero aparecen esporadicamente con tamaños que llegan hasta el de un puño. Su distribución areal es grande. Por el norte se comprobó su existencia a la altura de la porción terminal del escorial de la Media Luna. Por el sur llega hasta Los Manguillas, que se hallaffuera del mapa. Según Groeber (1937) estas tobas llegarían hasta el sur de Malargüe. Por otra parte González Díaz (comunicación verbal), en el relevamiento geológico-económico de la Hoja 30d "Payún Matrú" ha comprobado su existencia por el norte, poco al sur del Cº La Olla.

Los depósitos de este tipo de tobas aparecen cubriendo totalmente como un manto a los afloramientos más antiguos, como por ejemplo, las laderas de los conos piroclásticos adventícios (Cº Buitera, Cº Barda, Cº Jagueles del Mate, etc.). Rellena además los bajos topográficos, como ser Portezuelos (Portezuelo de los Payunes) o cauces fluviales pero su espesor permanece poco variable.

En los huecos de estas tobas, producidos por la erosion eolica, se almacena el agua de lluvia, unicos reservorios de agua en la zona. En el Portezuelo de los Payunes y al sudeste del mismo, se observa que la toba se ha erosionado en forma de cubetas alargadas, con perfil en U, de unos 10 m de ancho, 50-100 m de largo y de 6-8 m de profundidad, dispuestas todas en forma paralela y con una dirección constante noroeste-sudeste. Sus paredes poseen numerosos canalículos y oquedades longitudinalmente. Formas de erosión en clima desertico semejante a estas pero de mucho mayor tamaño, han sido designadas por Blackwelder (1934) como yardangs, y han sido atribuídas a la deflación eólica.

Economía de la Nación lo de Industria y Minería retaría de Minería



- 17 -

En cuanto al volumen de las Tobas del Portezuelo, es difícil calcularlo, por no ser continuos los afloramientos.

Composición química - Se analizaron dos muestras representativas provenientes respectivamente del Huaico de la Fortuna (toba de aglutinación densa) y de un lugar a 200 m al norte de la punta terminal del escorial de la Media luna. Se tuvo cuidado de quitar los clastos líticos que estaban incluídos. De todos modos, por ser unicamente dos las muestras analizadas, los valores obtenidos son sólo orientativos.

(Tabla 1, análisis 7 y 8). El porcentaje de SiO2 es relativamente bajo, para este tipo de tobas de aglutinación. En cambio son elevados los porcentajes de Na2O y K2O sobre todo en el análisis nº 7, en el cual aparece nefelina y acmita normativa. Este tipo de rocas, de composición intermedia son poco frecuentes y han sido descriptas en Japón, Costa Rica, El Salvador, Rusia y Armenia. (Ross y Smiyh, 1960) En nuestro país han sido estudiadas por González Bonorino (1944 en la zona de la mina La Valenciana, Malargüe, Mendoza).

Basaltos del Mollar

Se agrupan bajo el nombre de basaltos del Mollar, todos los afloramientos de composición basáltica, que se hallan relacionados con las primeras efusiones producidas despues de la formación de la caldera, es decir que cubren a las tobas del Portezuelo y
se hallan debajo de las Traquitas de La Calle. Groeber (1937) denominó a los basaltos que se encuentran en la ladera occidental del Payún
Matrú y que están en la relación antes mencionada, Basalto 5, al
cual llama posteriormente Puentelitense, Groeber (1946). En el pre-

e Economía de la Nación do de Industria y Minería retaría de Minería



- 18 -

sente trabajo se reunen bajo una misma unidad los basaltos de la ladera occidental del volcán Payun Matrú, con el escorial que ocupa la parte norte de la caldera (escorial El Campamento, veáse el mapa), el escorial del Pichi y los afloramientos al neciente de Farellones de la Portada, A pesar que todos estos últimos afloramientos no están conectados entre sí se los asimila dentro de la misma unidad por encontrarse, a excepción del escorial del Campamente, debajo de las Traquitas de La Calle. Todos sin excepción, se encuentran sobre las Tobas del Portezuelo. La posición del escorial del Campamento es dudosa, pues no se observan las relaciones con las Traquitas de La Calle. Pero su semejanza litológica con el escorial del Pichi (traquibasaltos) y por poseer un grado de erosión semejante a los demás, se los coloca dentro de la misma unidad. El nombre de Basaltos del Mollar deriva de el paraje El Mollar, que queda al noroeste del Portezuelo de los Payunes y al sur de La Calle.

Los escoriales de los Basaltos del Mollar conservan una forma definida, a pesar de hallarse sepultados parcialmente por los depósitos eólicos. Todavía se pueden observar sus formas con aspecto de lengua y sus contornos algo lobulares. La altura es de alrededor de 5-7 m. El desgaste del viento ha eliminado las asperezas de su superficie, presentando esta, como consecuencia de ello, un aspecto lustroso.

TRAQUITAS DE LA CALLE

Después de las efusiones de los Basaltos del Mollar, el material eruptado cambió bruscamente adoptando una composición traquítica muy poco variable.

e Economía de la Nación do de Industria y Minería cretaría de Minería



- 19 -

rato volcánico central, por estar sus chimeneas en muchos casos implantadas a lo largo de las fracturas que dieron origen a la formación de la caldera. Si bien existen chimeneas en las laderas del aparato volcánico central, como las que dan origen a escorial de Farellones de la Portada o la que está al sur del Cº Santa María y que pueden suponerse de origen adventicio, se las adscribe al aparato volcánico central por pertenecer al mismo ciclo que las que sor emitidas a traves de las fracturas de la caldera. Probablemente sus chimeneas están relacionadas entre sí por ramificaciones laterales.

a todos los escoriales de composición traquítica que se han producido con posterioridad a las erupciones de los Basaltos del Mollar y
que presentan características litológicas y morfológicas similares.
Las rocas en todos los casos poseen una coloración gris ceniza. Son
porfíricas con abundantes fenocristales de feldespato, de tamaño de
alrededor de 5 mm. Las texturas de la pasta es afanítica pero rara
vez vítrea. Los escoriales son extensos variando su longitud entre
4,5 y 10 km y oscilando su altura entre 150 y 200 m.

En algunos lugares estas coladas estan debajo de las Hialotraquitas de La Explanada como por ejemplo, al sur de La explanadadonde un escorial hialotraquítico cubre el escorial de traquitas que llega hasta La Colle. Lo mismo sucede al oeste de la Punta Alta sur, donde la hialotraquita choca contra el escorial traquítico que ocupa la caldera. Al noroeste de La Explanada la traquita cubre una roca hialotraquítica, pero esta roca es una facies vítrea de la traquita en cuestión. En el escorial de traquita Farellones de la Portada, no se observan relaciones con las hialotraquitas de

Economía de la Nación do de Industria y Minería retaría de Minería



- 20 -

La Explanada, ya que el escorial de esta que se halla al oeste de la chimenea de la Portada, está separado por un angosto callejón de un ancho de 50 m, no representado en el mapa (Lam. 8). De todos modos por su analogía litológica con los demás escoriales traquíticos se los agrupa junto con ellos. A continuación se dan las características de los escoriales más importantes:

El escorial que llega hasta La Calle y que nace poco al sur de La Explanada, se derrama hacia el poniente. El gradiente de la superficie por donde fluyó es de aproximadamente un metro en diez. Su longitud es de 12 km y su ancho máximo de 2,5 km en su porción terminal (ancho medio 1,0 km). La altura de 200 m es poco variable. El volumen correspondiente es de 2,4 km³.

El escorial que ocupa mas de la mitad de la superficie de la caldera nace aproximadamente en el mismo lugar que el referido anteriormente. Desde este punto ha fluído hacia el este hasta chocar con el paredón abrupto de La Nariz - Punta Alta Sur, que corresponde al límite oriental de la caldera. Su longitud es de alrededor de 9 km y la altura de unos 200 m lo que representa un volumen aproximado de 5,4 km³.

En el escorial Farellones de la Portada la longitud es de 9 km; al ancho medio de 2,5 km y la altura de 200 m. El volumen correspondiente es de 4,5 km³.

Estos escoriales traquíticos, sumados a otros menores que totalizan 2,1 km³, representan un volumen total estimativo para las Traquitas de la Calle de 14,4 km³.

de Economía de la Nación ado de Industria y Minería ecretaría de Minería



- 21 -

HIALOTRAQUITAS DE LA EXPLANADA

Las hialotraquitas de La Explanada están constituídas por coladas de lava y material piroclástico suelto. El material piroclástico es abundante y se extiende a lo largo del filo oeste y sur del volcán Payún Matrú siguiendo aproximadamente el contorno de la caldera. Cubre en La Explanada el escorial traquibasáltico de El Campamento y al escor al de traquita que rellena la caldera al sur de este. Las coladas se apoyan sobre estos depósitos piroclásticos, como por ejemplo, el escorial que se halla al ceste del Huecú o todos los que se encuen ran en la ladera sur. El material piroclástico está formado por lapilli, si bien se observan también bombas de hast: un metro de diametro. El color predominante de los lapilli es gris ceniza y la textura pumicea, con algunos fenocristales de sanidina. Las bombas poseen una textura vitrea, compacta, de color negro en su periferia (de un grosor variable entre un centimetro y cinco) predominando en su interior una textura pumicea. Las bombas son globosas y poliédricas, con numerosas grietas en su superficie, de 0,5 cm de profundidad y 0,3 -0,5 cm de ancho, en cuyo fondo se ven vesículas a alargadas en sentido transversal a la dirección de la grieta, como si hubieran sido estiradas al producirse el fracturamiento de la su-Perficie.

Las coladas hialotraquiticas forman escoriales individuales, de color negro, debido a la abundancia de vidrio de ese color. Groeber (1937) las denominó obsidiana. Aparecen en las mismas localidades que el material piroclástico pero es notable su abundancia en la ladera sur, donde existe casi un centenar de escoriales y toloides de diverso tamaño, que se superponen unos sobre otros.

e Economía de la Nación do de Industria y Minería retaría de Minería



Fig. 2 - Bomba volcánica hialotraquítica de forma poliédrica. La Explanada.

No presentan ninguna relación con las otras unidades de esta región. Solamente se depositan sobre el material piroclástico. Es la unidad más joven, en cuanto a las unidades del aparato volcánico central se refiere.

La tamaño de los escoriales es mucho menor que el de las Traquitas de La Calle. La longitud máxima corresponde al escorial que se origina al sur de La Explanada y fluye hacia el oeste cubrien do en parte el escorial de traquita que llega hasta La Calle y que nace posiblemente casi en el mismo lugar. La longitud es de aproximadamente 4.3 km; el ancho medio de 1,1 km y la altura 30 m. lo que representa un volumen de 0.14 km3.

No es posible dar una idea exacta del volumen total de las hialotraquitas, debido a la innumerable cantidad de escoriales, muchas veces superpuestos unos sobre otros. Una apreciación estimativa, indicaría unos 0,6 km³. Si al material piroclástico se

de Economía de la Nación ado de Industria y Minería ecretaría de Minería



- 23 -

le asigna un volumen de 0,4 km³ (espesor promedio 10 m y su superfie: cie cubierta 40 km², el volumen total de las hialotraquitas de La Explanada sería de 1 km³, cifra relativamente pequeña si se la compara con la de las Traquitas de La Calle.

APARATOS VOLCANICOS ADVENTICIOS

Con este título se describen todas las unidades (morfolitológicas) que tienen su origen en chimeneas implantadas en el
aparato volcánico central. El desarrollo más importante de las erupciones adventicias está en flancos orientales y occidentales, mientras que en los flancos norte y sur no se han producido ningún tipo
de erupciones a excepcion de algunos escoriales traquíticos de la ladera sur (véase pág.). La composición de las rocas en los volcanes adventicios es basáltica.

BASALTOS DE LOS MORADOS GRANDES

La denominación de Basaltos de Los Morados Grandes, abarca a todos los basaltos que son posteriores a las Andesitas y traquiandesitas de La Nariz y anteriores a ñas Tobas del Portezuelo, las que lo cubren dificultando la individualización de los escoriales y la posición correspondiente a sus chimeneas. El nombre proviene del Cº Los Morados Grandes, que es el volcan adventicio de mayor tamaño.

Los depósitos de Los Morados Grandes, se extienden cub riendo la ladera oriental del aparato volcánico central. En el flar co occidental, donde el v lcanismo adventicio ha sido también intenso se observan solamente algunos conos piroclásticos aislados. Aquí el Economía de la Nación o de Industria y Minería etaría de Minería



- 24 -

Basalto del Mollar y las Traquitas de La Calle no dejan observar probablemente estos depósitos. Los afloramientos que se extienden sobre
la ladera oriental están constituídos por coladas que provienen en
parte de Los Morados Grandes, pero los asomos de estas rocas aparecen
sumamente dispersos y en extensiones aisladas. Las Tobas del Portesuelo que lo cubren han dejado a la vista el basalto, tanto en las pequefias barrancas de los arroyos como en algunos resaltos que poseían antes de la acumulación de la toba. Las coladas de Los Morados Grandes
se derramaron, una por el lado sur, que pasando al sur del Cº Buitrera, fluyó en dirección nornoreste llegando posiblemente hasta la altura
ra de Montón de Cerros; otra hacía el norte por entre el Filo Blanco
y Los Morados Grandes.

Otras lavas parecerían haberse originado en el Cerro del Hoyo, siendo probable que los afloramientos al este y noreste del Pto. Perez, provengan de este cono piroclástico.

Conos piroclásticos dentro de esta unidad son: Cº Buitrera, Cº Jagüeles del Mate, Cº La Noria, parte del Cº La Escoria y
Cº La Ventana.

Todas las rocas son basaltos olivínicos, poseen una coloración oscura uniforme y la textura es porfírica con fenocristales de plagioclasa y olivina. La pasta es afanítica, frecuentemente vesicular. El aspecto de la roca es fresco.

BASALTO DE LA MEDIA LUNA

Los Basaltos de la Media Luna se presentan como escoriales bien definidos, no afectados por la erosión, ni cubiertos por una cubierta vegetal. Se apoyan sobre los Basaltos del Mollar y cuando faltan estos, como ocurre en la ladera oriental, sobre las Tobas del Portezuelo. En el primer caso la relación se obserca claramente Economía de la Nación de Industria y Minería staría de Minería



- 25 -

en la cercanía del Cº Los Caballos (Lám. 8). Las relaciones con las tobas son más frecuentes y se pueden observar practicamente en todos los escoriales que nacen en la fractura que pasa por el Cº La Carbonilla y Cº La Escoria. Los escori les de los Basaltos de la Media Luna rodean en muchos casos pequeños mogotes (steptoes) constituídos por los Basaltos de Los Morados Grandes y las Tobas del Portezuelo. (escorial del Cº La Escoria, Escorial de El Mollar. No se han observado depósitos más jovenes que lo cubran, ni tampoco aparecen en centacto con las hialotraquitas.

Los numerosos escoriales que constituyen los Basaltos de La Media Luna han sido reunidos dentro de la misma unidad a causa de no aparecer conectados entre sí. Si bien las corrientes de lava que tienen su origen en el Co La Carbonilla están cubriendo la que nace en el Cº El Mollar, de modo que podría distinguirse una unidad más joven y otra más antigua, sería imposible transportar esta misma relación a otros escoriales superpuestos, como ocurre al pie norte del Cº Los Caballos. Aquí se observa el escorial que nace al naciente de este cerro y cubre a otro que se expande hacia La Calle, y que quizás, provenga de la misma localidad. Groeber (1937) distingue como Basalto 6 (Tromenlitense inferior) a los escoriales que están debajo de los más nuevos, como el de La Media Luna, al que refirió como Basalto 7, (Tromenlitense superior). En el presente estudio se distinguió en el mápa (Lám. 8) solamente con diferente rastra, los escoriales que se encuentran debajo de otros, a fin de hacer resaltar la individualità de los mismos.

Con la reunión de todos los escoriales basálticos de edad subreciente, dentro de la misma unidad, se evita una nomenclatura frondosa, ya que en todos los casos tienen características semejantes.

Economía de la Nación de Industria y Minería taría de Minería



- 26 -

Algunos escoriales alcanzan un gran desarrollo. Uno de los mayores es el que nace en el Moller, al sudeste de Jagüeles del Mate. Alcanza a medir una longitud de unos 15 km; su ancho medio es de unos 3 km y su altura aproximadamente 8 m. Esto representa un volumen de 0,2 km³.

Otros escoriales tiene volúmenes similares o menores que en conjunto suman 0,3 km³. El volumen total de los Basaltos de La Media Luna es por lo tanto de 0,8 km³.

Las rocas son porfíricas con pasta de textura variada que van desde vesiculares gruesas hasta microvesiculares. Los fenocristales, poco abundantes están constituídos por pequeñas tablillas de plagioclasa (2 mm) y olivina (2-3 mm).

Economia de la Nación de Industria y Minería staría de Minería



- 27 -

EDAD

Las edades de las distintas unidades morfo-litológicas de con difíciles de determinar, pues no presenten relaciones con unidades de edad conocida, que permitan establecer una correlación. Lo que se puede es suponer que los Basaltos de La Media Luna y las Hialotraquitas de La Explanada, son de edad cuartaria superior, por no encontrarse en ellas ningún fenómeno de erosión, ni tampoco que se haya podido desarrollar sobre ellas un suelo, si bien la precipitación de la zona es escasa. La edad relativa de estas dos formaciones no puede establecerse, por ho existir ningún contacto entre ambas. En cuanto a la edad de las otras unidades, el autor por carecer de datos nuevos, las refiere a las edades dadas por Groeber (1937).

Las Tobas del Portezuelo son muy útiles para poder determinar edades relativas, pues sus afloramientos se extienden a lo largo de una amplia zona. Se puede establecer por lo tanto con precisión, si las diferentes unidades son posteriores o anteriores a ella. Unidades más antiguas a esta toba son: Andesitas y traquiandesitas de La Nariz y Basaltos de Los Morados Grandes, siendo más jovenes las restantes. Economía de la Nación o de Industria y Minería etaría de Minería



- 28 -

ESTRUCTURA Y GEOMORFOLOGIA

a) Estructura del aparato volcánico central - La estructura del aparato volcánico central sólo es conocida en su porción superior, debido, por un lado, a que la erosión no ha descubierto su estructura interna, y por otro lado, al intenso vulcanismo posterior a la formación de la caldera, que ha cubierto completamente las laderas occidentales y australes. La sucesión de mantos lávicos y mantos brechosos observada en el perfil de La Nariz indicaría que por lo menos la parte superior del volcán tendría la estructura de un estrato-volcán. Además donde el vulcanismo adventicio ha sido nulo o reducido, como por ejemplo, en la región existente entre el Huaico de La Fortuna y el Huecu, se pueden apreciar las laderas empinadas pertenecientes a una forma cónica. El centro eruptivo estaría en algún lugar donde actualmente se encuentra la caldera, por lo que se puede observar en la inclinación periclinal de los mantos entre La Nariz y La Punta Alta Sur.

Dentro del aparato volcánico central se han observado unos pocos diques de tipo radial.

b) Caldera - Se encuentra a 3000 m.s.n.m. y a unos 1700 m sobre la llanura circundante. Es de forma aproximadamente circular midiendo en su eje norte-sur 9 mm y en su eje este-oeste, 9 km, lo que significa um área de 63 km². Calculando una profundidad media de 100 m el volumen de la misma sería de 6,3 km³. Los límites norte y este están formados por abruptos farellones mientras que en el resto del límite no es conocida con exactitud porque el vulcanismo posterior ha borrado los restos más antiguos.

Economía de la Nación de Industria y Minería taría de Minería



- 29 -

El origen de la caldera está estrechamente ligado al proceso eruptivo que formó las Tobas del Portezuelo. El gran volumen del material expulsado, dejó sin sustentación la parte superior del volcán, produciendo el hundimiento de la misma, originando una fractura de forma casi elíptica. Según la clasificación de Williams (1941) este tipo de caldera correspondería al de hundimiento.

c) Forma de los escoriales traquíticos e hialotraquíticos Las lavas traquíticas e hialotraquíticas tienen estructura de bloque
de acuerdo a la denominación empleada por Finch (1933), los cuales
se hallan por lo general soldados por la misma lava. Los bloques son
muy irregulares en tamaño y forma; son relativamente compactos y poseen escaso vidrio, no así el material ligante que es más vítreo y
mucho más vesiculosos.

Los bordes de estos escoriales son escarpados y están formados por bloques caídos de todos los tamaños como en un talud de derrumbe. Cada escorial está compuesto por varias unidades de flu jo superpuestos por lo común, tres o cuatro rebasándose lateralmente en pocos lugares y en escasa cantidad.

Las lavas presentan en su superficie una rugosidad muy gruesa (crestas de presión) que consisten en sucesivas crestas y senos dispuestos en forma arqueada perpendicularmente a la dirección del flujo. El lado convexo de estos arcos apunta hacia el sentido de avance de la colada. El radio de curvatura es mayor en el centro de la lengua que en los bordes, los que poseen mayor altura que la superficie restante de la lava. En el escorial situado al sur del Co Santa María, en las cercanías de su chimenea, las crestas se disponen paralelamente entre sí y a los bordes de la lengua (Lám. 8).

de Economía de la Nación stado de Industria y Minería secretaría de Minería



- 30 -

Cada cresta está formada por bloques soldados, mientres que los senos se encuentran cubiertos por material suelto proveniente de la destrucción de las crestas. El espesor de estas es de alrededor de 40 m y el de los senos de unos 20-30 m. La altura puede oscilar entre 5 y 10 m, si bien esta medida no es muy exacta debido a la irregularidad del perfil de la cresta.

Los escoriales hialotraquíticos presentan las mismas crestas de presión que los descriptos (Fig. 3), pero el tamado es mucho menor. En efecto entre cresta y cresta hay una distancia de 8-9 m y la altura es de unos 8 m (lámi. 6, Fig. 1). Lo mismo que en



Fig. 3- Escorial hislotraquítico al mesto del El Huecu. Crestas de presión concentricas respecto a la chimenea. En primer plano, bombas de formas poliedricas de igual composición.

las traquitas está formada por bloques soldados. Las texturas varían desde compactas vítreas en los bloques, hasta pumiceas. Las vesículas en la superficie de la lava forman canaliculos verticales paralales.

conomía de la Nación de Industria y Minería aría de Minería



- 31 -

basálticos posee un cono piroclástico en el sitio de erupción. La superficie de los escoriales está constituído por lava muy pumicea, escoriacea y por lava de bloques. La lava pahoehoe es poco frecuente y se la ha observado solamente en las cercanías de los conos piroclásticos. La lava que forma la gran masa del escorial presenta nume rosas espinas erguidas (70 cm de altura) de formas alargadas o globosas y superficie escoriacea, de textura vesículosa. La superficie del escorial está cubierta parcialmente por material vesícular suelt del tamaño de una nuez. De trecho en trecho aparece el basalto masivo, que es monos vesículoso que el de las espinas; presenta grietas en parte curvadas con un ancho medio de 0.80 m.

Dentro del escorial, pero siempre en la superficie del mismo, aparecen especie de canales, que por lo común divergen en la porción terminal de la colada produciendo un ensanchamiento de la lengua. El fondo de estos canales está cubierto por bloques sueltos de lava (lava de bloques, Mac Donald, 1953), de formas paralelepípedas.

Al sur de los Morados Grandes se observa una fractura de rumbo EME que se extiende desde el Cº La Escoria hasta algo al oeste del Cº La Carbonilla. Esta fractura, por la cual se han derramado gran parte de los basaltos de La Media Luna de la región oriental, ha dado origen a las llamdas erupcio es en fisura. Si bien en algunas partes de la fractura se han formado comos piroclásticos (Cº La Carbonilla, Cº Alen no representado en el mapa) la mayoría de la lava ha fluído tranquilamente sin la participación de una fase piroclástica. Al oeste del Cº La Escoria se observa una serie de

Iconomía de la Nación de Industria y Minería aría de Minería



- 32 -

"desplomes" alargados en la dirección de la fractura. El Cº La Escoria, que es un cono piroclástico basáltico anterior a las Tobas del
Portezuelo, está prácticamente partido en dos por la fractura, a trav
vés de la cual flayó la colada que se derrama hacia el seste y pasa
al norte del Cº Jagúeles del Mate.

conomía de la Nación de Industria y Mineria tria de Minería



- 32 -

"desplomes" alargados en la dirección de la fractura. El Cº La Escoria, que es un cono piroclástico basáltico anterior a las Tobas del
Portezuelo, está prácticamente partido en dos por la fractura, a trav
vés de la cual fluyó la colada que se derrema hacia el ceste y pasa
al norte del Cº Jagúeles del Mate.

conomía de la Nación de Industria y Minería aría de Minería



- 33 -

PETROGRAFIA

Las rocas igneas del volcán Payún Matrú son clasificadas aquí principalmente en base a la composición del feldespato modal.

Las rocas cuyo feldespato es labradorita o bitavnita son denominados basaltos; si es an esina se las llama andesitas; y si predomina el feldespato alcalino son clasificadas como traquitas. La denominación de traquibasaltos se refiere a las rocas que poseen, junto a labradorita, pequeñas cantidades de fildespato alcalino. El término traquiandesita es aplicado a las lavas que contienen junto a andesina, feldes pato alcalino. Las hialotraquitas son llamadas así por poseer en su composición abundante vidrio. Ninguna de las lavas del Payún Matrú contien cuarzo en proporción mayor a un 5%, como para denominarlas dacitas o riolitas. Los minerales máficos no son tan abundantes como para encontrar basaltos pieríticos o aukaramitas. Basaltos cuyo conte nido de olivina es mayor que el 5%, son llamados basaltos olívinicos.

La composición petrográfica de las lavas del Payún Matrú es poco variable. Las rocas que más predominan son los basaltos olivinicos y las traquitas. Lo siguen en orden de abundancia andesitas y traquiandesitas, y en menor proporción aún traquibasaltos.

BASALTOS OLIVINICOS

La gran mayoría de los basaltos olivinicos son porfíricos los fenocristales representan el 30% de la roca y están constituídos por plagioclasa, olivina y clinopiroxeno.

La plagioclasa representa comunmente el 60% de la composición de los fenocristeles. Su composición corresponde gener limente a

176



- 34 -

una bytomita (1) con una composición de 82% de An. Para los valores de los indices de refracción medidos (premedio de 14 medidones en distintas muestras), que se da más abajo, no hay coincidencia en los porcentajes de An correspondientes a 🗸 y 🎖 . Esto se debe probablemente a la zonalidad.

χ = 1.5%0 ± 0.003 α = 1.566 ± 0.003

En unos pocos escoriales se observa que el contenido de An de la plagioclasa es más bajo. En el que nece en el Cº La Escoria el porcentaje de esta es de 68% y = 1.572 = 0.003; 1.560 = 0.003) Valores semejantes tienen las lavas que nacen en Morados Grandes.

alrededor de 6 mm de lergo. Muchas muestran penetración de la pasta a la largo de los planos de clivaje, tanto en el centro como en los bordes del cristal. La zonalidad es generalmente poco marcada. Las maclas más comunes son las de Carlsbad, mientras que las de albita son poco abundantes y mal desarrolladas y las de periolino, raras.

La clivina es el segundo componente en abundancia entre los fenocristeles y representa el 30% de los mismos. Su forma varía desde cuhadral a anhedral, debiendose esta última a procesos de reabsorción por la pasta. El tamaño oscila entre 2 y 0,5 mm. Es deve mente zonal aunque no se pudo determinar la composición de las diversas zonas. No presenta alteración. Por los datos opticos (promedios de 8 mediciones en distintas muestras) dados más adelante, continue

⁽¹⁾ Para la determinación de las plagioclasas se utilizaron las cur vas de variación de índices de refracción publicados por Trogge 1959, p. 99.

Economía de la Nación de Industria y Minería



- 35 -

en su composición 18% de fayalita.

El piroxeno (10% de los fenocristales) es una sugita diop sidica de color castaño suy palido. A menudo se observa la textura en reloj de arena (clepsidre). Por lo genor l es enhedrel aunque se observan individuos anhedrales. Los datos óticos obtenidos son los siguientes: (promedio de 8 mediciones en distintas muestras).

Las texturas más comunes de la pasta son la hialopilítica y la intersertal, encontrándose con menos frecuencia la intergranular. Los componentes de la pasta son tablillas de plagioclasa, entre las cuales aparecen abundantes granos anhedrales de olivina, y en menor perporción clinopiroxeno y una mesostasis de vidrio. La plagio clasa posee un contenido de anortita ligeramente menor que el de los fenocristales. La composición de la olivina es practicamente idéntica a la de los fenocristales. El clinopiroxeno posee un ángulo 2V = 500 ± 40 y el vidrio, de color pardo rojizo pasa en algunas muestras a una masa de color negro, casi opaca, que se debe seguramente a numerosas inclusiones pulverulentas de óxido de hierro. Algunas vesículas están tapizadas de épalo.



- 36 -

TRAQUIBASALTOS

Los traquibasaltos son rocas de textura pórfirica con fenocristales relativamente abundantes en comparación con los basaltos olivinicos; en el escorial del Pichi su porcentaje alcanza 50%. La composición de los fenocristales es la siguiente: plagioclasa, 80%; olivina 10% y clinopiroxeno, 10%.

El hábito de la plagioclasa varía entre tabular cuadrangular y romboide. Algunos individuos son euhedrales, otros son subhedrales y más raramente anhedrales. Estos últimos se deben a procesos de reabsorción por la pasta, los que dan origen a formas completamente redondeadas y a fenómenos de disolución dentro del cristal, originando la textura en panal de abeja. Tiene una zonalidad
que se hace evidente cuando los fenómenos de disolución mencionados
afectan las zonas externa del cristal. Las maclas no son muy abundal
tes; las más comunes son de albita, periclino y Carlsbad. En las do
primeras el maclamiento es tan fino que practicamente no se puede
resolver con el microscopio, lo que dificulta las medidas de los in
dices de refracción.

La composición es de una labradorita con 59% de anortita los índices de refracción medidos son los siguientes: (promedio de 4 medidas).

Los valores de y y de no se correspenden, debiendose esto probablemente a la zonalidad del cristal.

La olivina y el clinopiroxeno son menos abundantes que en los baseltos olivínicos. La olivina es per lo general anhedral y se halla cubierta perifericamente per un anillo de éxido de hierro.

Economía de la Nación de Industria y Minería staría de Minería



- 37 -

presenta cierta zonalidad pero sin límites netos entre zona y zona observándose solamente una diferencia zonal en la extinción. Esta zonalidad es acusada sin embargo por la medida del ángulo 2V que da valeres distintoss para la parte central y la externa. Las propiedades ópticas medidas son: (promedio de 3 medidas).

A= 1.695 ± 0.005 2V_-A= 20 (centro del cristal) 2V_-74± 20 (borde del cristal)

En cuanto a la medida de no se pudo precisar a que zon pertenecía. La composición corresponde aproximadamente a una hialosiderita.

El clinopiroxeno por los valores obtenidos es una augita diopsídica (promedio de 3 medidas).

$$\angle = 1.685 \pm 0.005$$
 $2V_{7} = 58 \pm 2$
 $2A_{7} = 459 \pm 2$

La forma varía entre eudrale y subhedral, estando estas últimas corridas por la pasta. El tamaño oscila entre 1 mm y 0.3 mm No presenta alteración alguna.

La pasta por lo comin posee una textura que oscila entre hialopilitica y pilotíxica. Generalmente es vesiculosa. Pequeñas tablillas de plagioclasa de 0,1 mm de largo forman la trama principal estando contenidas entre ellas escasa olivina, clinopiroxeno y feldespato alcalino, que no se pudo determinar cual era. El vidrio no es muy abundante y está practicamente cubierto per inclusiones pulvirulentas de éxido de hierro.

Economia de la Nación o de Industria y Minería etaria de Minería



- 38 -

Se clasifica a estas rocas como traquibasálticas, por la presencia en la pasta, si bien no muy abundante, de feldespato alcalino. Los análisis químicos de la tabla 1, nº 3 y 4 indican además un alto contenido de Na20 y K20. El porcentaje de sílice es también relativamente alto para un basalto normal.

ANDESITAS X TRAQUIANDESITAS

Las andesitas y traquiandesitas se describen conjuntamento por existir entre ambas solamente diferencias en el contenido en fel despato alcalino.

En estas rocas la proporción en fenocristales oscila entre 30 y 40% estando los fenocristales compuestos por un 80% de plagioclasa, 10% de olivina y 10% de clinopiroxeno.

Aunque muchos de los fenocristales de plagioclasa son enhedrales y subhedrales, algunos son anhedrales debido a los fenómenos de resorción que originana bordes redondeados y pequeños engolfemientos rellenos por material de la pasta.

Poseen en aglunos casos una marcada zonalidad (Fig. 4) muy irregular, en la cual el contenido de anortita disminuye hacia la periferia del cristal en forma escalonada. Estas zonas son fáciles de identificar y se distinguen, desde el centro hacia la periferia, un núcleo, una zona media y una zona marginal. La zona media es la que alcanza mayor desarrollo.

posee una forma bastante irregular, si bien se pueden observar formas más o menos tabulares. Los bordes son por lo general dentados. El límite con la zona media es en muchos casos brusco y en otros gradual.

e Economía de la Nación do de Industria y Minería rretaría de Minería



- 39 -

En este último caso el contenido en anortita va disminuyendo paulatinamente hacia la zona media a traves de una zona de transición. El
aspecto del múcleo es limpido y contiene muy pocas inclusiones. Presenta maclas de albita bien definidas y relativamente gruesas (0.03
mm) siendo la extinción en cada individuo total y homogenea (Lám. 3,
y 4). Los datos ópticos que se den más adelante indican que el contenido en anortita oscila entre 45 y 53%.



Pig. 4-Fenocristal de plagioclasa de una traquiendesita. La Nariz, Payún Matrú. H, núcleo; T, zoha de transición; S, zona media; M, zona marginal.

 $\gamma = 1.562 \pm 0.003$ $\lambda = 1.550 \pm 0.003$ $2V_{\gamma} = 78 \pm 3$

La zona media ocupa practicamente entre el 90 y 95% del volumen del fenocristal. Las formas que cosee son las que ce han des-cripto al hablar de los fenocristales de plagi el sa en general. Se

Economía de la Nación) de Industria y Minería staría de Minería



- 40 -

presenta con maclas de albita muy fina que frecuentemente no se pueden distinguir de los individuos de macla. También menos abundante,
finamente maclada en enrejado (Lám. 2, Fig. 3). Posee en estos casos una birrefringencia anómala de colores grises plamizos. En algunos cristales se observa que la extinción es fragmentosa, y se localiza preferentemente en el centro del fenocristal cuando falta el
núcleo. También se puede observar como un intercrecimiento de dos
plagioclasas de formas globulares o alargadas (Lám. 2, Fig. 4). Una
de estas plagioclasas posee la misma composición que el núcleo y la
otra la de la zona media. Agujeros de disolución tipo penal de abeja (Lám. 1, Fig. 4). son frecuentes y se presentan unicamente en esta zona.

De acuerdo a los datos óptocos obtenidos, la plagicelasa de la zona meida es una andesina que contiene 35% de anortita. Debido al maclamiento muy fino algunos de los valores determinados ofrecen menor exactitud que en los otros casos. (promedio de 12 mediciones).

La zona marginal tiene muy poco desarrollo y cubre con un reborde la zona media, con un espesor practicamente constante (0.025 mm) o tapizando agujeros de disolución (Lám. 1, Fig. 4). Es continua y persistente aunque la zona media se halle corroida por la pasta. Se presenta completamente limitada y su extinción es normal. Economía de la Nación de Industria y Minería staría de Minería



- 41 -

Según los datos ópticos, que se dan más abajo, la composición de esta zona corresponde a la de un feldespato alcalino. Según el diagrama ternario publicado por Muir (1962), que muestra la relación entre índice de refracción alfa y la composición del feldes pato de hawaiitas y mugearitas, tendría una composición de anortoclasa según la clasificación de Smith y Mac Kenzie (1958) (promedio de 3 mediciones).

$$\gamma = 1.531 \pm 0.003$$
 $\chi = 1.525 \pm 0.003$
 $2V_{2} = 549 \pm 3$

En muchas plagioclasas (10%) falta de núcleo)

Los fenocristales de olivina son anhedrales, oscilando su tamaño al rededor de los 0,4 mm. Presentan un anillo de alteracion constituído principalmente por goethita. Este anillo tiene un grosor variable y suele penetrar en el interior del cristal, ya sea masivamente o por pequeñas fracturas. Según los datos ópticos que se dan a continuación, la composición de la olivina corresponde a una hialosiderita (promedio de 5 mediciones).

El piroxeno es una augitaddiopsídica que contiene probablemente algo de titanio. Presenta una coloración leve, pardo violacea. Estructura en reloj de arena (clepsidra) son comunes. Contiene inclusiones prismáticas, muchas de ellas indeterminables, otras consisten en apatita pleocroica.



TO NACIONAL DE GEOLOGIA Y MINERIA

Wda. JULIO A. ROCA 651 - PISO 6°

CAPITAL FEDERAL

- 442-

Los datos ópticos del clinopiroxeno son, (promedio de 4 mediciones).

Z= 1.693 ± 0.005 2V= 540 ± 2 ZAC- 450 ± 2

Los pastos de estas rocas poseen una textura que varía desde pilotáxica a traquítica constituída por abundantes tablillas de feldespato de 0.2 mm de largo. El vidrio es por lo general escaso y cuando existe aparece en forma intersticial rellemendo los huecos triangulares dejados por las tablillas de feldespato. El color que presenta es parco rojizo. En las andesitas predominan las tablillas de plagioclasa sobre las de feldespato alcalino, en cambio en las traquiandesitas la relación es inversa. Entre estos dos minerales aparecen cristales aciculares de clinopiroxeno reemplazado por óxido de hierro hidratado.

La magnetita presenta un tamaño ligeramente mayor que los componentes de la pasta. Es idiomorfa y las tablillas de feldespato la redean fluidalmente, por lo que podría considerarse como un fenocristal.

Intersticialmente y en agregado en forma de papas, se encuentra cristobalita. Entre los minerales accesorios se observa apatita pleocroica idéntica a las de las traquitas y circón. El pleocroismo de la apatita es idéntico al que aparece en las traquitas (Véase traquitas).

Las rocas de diques que poseen esta composición se diferencian de las rocas descriptas por poseer biotita entre los fenocristales. Es fuertemente placorpica Z - pardo oscuro, casi negro; X - pardo amarillento. Se halla rodeada por un anillo de óxido de hierro.



DE ESTADO DE INDUSTRIA Y MINERIA

O NACIONAL DE GEOLOGIA Y MINERIA

da. JULIO A. ROCA 651 - PISO 6°

CAPITAL FEDERAL

- 43 -

Las Tobas del Portezuelo peseen una composición andesítica a traquiandesítica. Debido a que la mesostasis es vítrea, es
difícil establecer a cual de las dos pertenece. Tor lo que se refiere a la composición de los fenecristales es análoga a la descripta anteriormente. Sólo los fenecristales se hallan algo fracturados y rotos. Presentan sin embargo una resorción por la pasta similar. Como en los diques descriptos en párrafos anteriores presenta
fenecristales de biotita, queen gran parte es euhedral y mide unos
2 mm de largo. El pleocroismo es fuerte Z - pardo rojizo oscuro;
X - pardo amarillento claro. Alrededor del 2% de las biotitas apare
cen curvadas y el 1% quebradas. Estas son las únicas rocas que poseen biotita.

En la textura de la pasta existen diferencias en el grado de soldamiento de las trizas. En las tobas de aglutinación densa, estas están tan deformadas, que es difícil reconocerlas. En estas rocas la pasta está formada por una masa de vidrio masiva, en la cual se observa una seudofluidalidad marcada, en donde se distinguen filetes constituídos por un vidrio claro, color caramelo, que se encuentra en un estado avanzado de devitrificación. (sanidina - cristobalita). Estos filetes están incluídos dentro de una masa mucho mayor (60%) formada por un vidrio poco desvitrificado, de color gris y de aspecto pulverulento, en el cual se ven numerosas trizas alargadas, semajantes a hilos de color más claro (Lám. 1, Fig. 1). Contiene la pasta, además, algunas microvesículas de formas redondeadas.

En las tobas de aglutinación parcial las trizas tienen una forma que se asemaja a una Y, de coloración pardo rejiza y cuyas dos ramas aparecen aplastadas. Se disponen paralelamente y entr las mismas se encuentra un material pulverulento de color gris.



A DE ESTADO DE INDUSTRIA Y MINERIA

JTO NACIONAL DE GEOLOGIA Y MINERIA

Avda. JULIO A. ROCA 651 - PISO 6°

CAPITAL FEDERAL

- 44 -

En las tobas de aglutinación incipiente y sueltas, la pasta está constituída por partículas de vidrio con formas redondesedas y de guresos bastoneitos. Esta pasta es muy porosa y poco coherente.

TRAQUITAS -

Las traquitas son porfíricas; poseen 30% de fenecristales, de los cuales 90% son de sanidina y 10% de olivina y clinopiroxeno.

La anorteclasa presenta secciones tabulares, cuadrangulares y rembeidales, en parte modificadas por la reabsorción de la
pasta. El tamaño premedio es de 2 mm, aunque algunos individuos llegan a medir hasta 9 mm de largo. La extinción varía entre endulada y
fragmentosa; la macla de Carlsbad es la más abundante, pero alrededor de un 10% de los fenecristales poseen un maclamiento en enrejado muy fino, que no se puede resolver con el microscopio. Con colores de birrefringencia plemizos anémalos.

alrededor del 10% de los cristales poseen núcleos de oligoclasa cálcica de forma generalmente prismática. (Fig. 5. A) cuyo contorno, en contacto directo con la anortoclasa, es muy irregular, presentando entradas y saliencias controladas en parte por sus clivajes. En otros cristales entre el núcleo de oligoclasa cálcica y la anortoclasa hay una zona intermedia con una composición de oligoclasa sódica (Fig. 5, B) y Lám. 3. Figs. 1 y 2). Se observan también fenocristales de composición aparentemente homogenea pero que en el centro de la sección presentan un área de contorno prismático que se distingue por su marcada extinción fragmentosa (Fig. 5, A).



B

DE ESTADO DE INDUSTRIA Y MINERA

TO NAC

A

A

C

1mm

Fig. 5 - Fenocristales de Inortoclasa. Traquitas del volcán Payún Matrú. A: Núcleo de oligoclasa cálcica en anortoclasa. B: Múcleo de oligoclasa sódica. C: Cristal de anortoclasa con un área prismática en el centro con extinción fragmentosa. D: Cristal de anortoclasa con pequeñas áreas de oligoclasa sódica. S - Anortoclasa. Oca - Oligoclasa cálcia. OVa - Oligoclasa sódica.

D

En todos los casos fenocristales y múcleo se hallan maclados según Carlsbad con un plano de composición común. Existen además otros cristales de sanidina que contienen oligoclasa en forma de pequeñas manchitas distribuídas homogeneamente en el cristal, retro que dejan una perifericamente libre (Fig. 5, D). El procentaje



DE ESTADO DE INDUSTRIA Y MINERIA

D NACIONAL DE GEOLOGIA Y MINERIA

Ia. JULIO A. ROCA 651 - PISO 6°

CAPITAL FEDERAL

- 46 -

de oligoclasa es de alrededor de 30%.

La composición de la inortoclasa fué determinada por métodos ópticos (Tuttle, 1952), roentgenográficos (Tuttle y Bowen, 1958) y químicos.

Los datos ópticos obtenidos son los siguientes: (promedio de 16 medidas):

El término anortoclasa empleado aquí se refiere solamente a la composición rica en sodio del feldespato alcalino. No se determino, empero, la simetría del mismo.

De acuerdo a los datos de los indices de refracción (Tuttle, 1952) la composición del feldespato es (Ab-An) 76 Or 24. El
ángulo 2V no coincide con estos datos, y su variación no permite utilizarlo como determinativo de la composición (Tuttle, 1952).

Los resultados obtenidos mediante métodos reentgenográficos coinciden con los dados por los datos ócticos. La diferencia del
ángulo 20 entre (201) del feldespato y(1010) del cuarzo es la siguiente:

De acuerdo a este valor la composición del feldescato es lassiguiente: (Ab - An) 76 Or24.

Los datos químicos obtenidos en un fenceristal de una muestra del escorial que llega hasta la Calle sen:



DE ESTADO DE INDUSTRIA Y MINERIA
O NACIONAL DE GEOLOGIA Y MINERIA
da. JULIO A. ROCA 651 - PISO 6°

CAPITAL FEDERAL

- 473 -

Na207.1ab	-66%
K200n	-32%
Ca O An An	- 2%

Analizo, N. Kotchikov, de Laboratorio de Análisis de Rocas de CNICT. Fac. Cienc. Exact. y Nat.

Estos resultados presentan una variación con los mencionados anteriormente en un 8% del contenido de ortoclasa.

La olivina es muy poco abundante, encontrándose en una proporción semejante a la del clinopiroxeno. Predominan los cristales euhedrales aunque son subhedrales. Es una hortonolita con alrededor de 55% de fayalita, la que fué determinada por la medición de - 1.74 - 0.01.

El clinópiroxeno posee color pardo muy débil, algo violado. En unos pocos cristales tiene una estructura en reloj de arena.
Como la olivina, está rodeado por un arillo de óxido de hierro aunque menos desarrollados. Contienen inclusiones prismáticas que por
su tamaño casi submicroscópico no pudieron ser determinadas. Los datos obtenidos que corresponden a una augita diopsídica son los siguientes: (promedio de dos mediciones).

La pasta consiste en un agregado de tablillas de sanidina de un tamaño de 0,1 mm dispuestas en forma paralela entre sí, (textura traquítica) con una composición similar a la de los fenocristales. Entre las tablillas se observan cristales aciculares de un piribol, cuya extinción es X/c 30º, la que se obtuvo midiendo gran



NACIONAL DE GEOLOGIA Y MINERIA

L JULIO A. ROCA 651 - PISO 6°

CAPITAL FEDERAL

- 48 -

cantidad de individuos en el microscopio y se tomó el valor máximo.

El pleocroismo es débil y difícil de precisar debido a la pequeñez

del grano Z - verdoso; X - rosado. El ángulo 272288º 40. Se trata

posiblemente de una variedad alcalina de anfibol.

Otro componente relativamente importante de la pasta es cristobalita, que se presenta en forma de agregados intersticiales. En las traquitas que poseen una textura hialopilitica no aparece este mineral.

Entre los minerales accesorios la apatita es el más abundante. Tiene un pleocroismo marcado & - pardo rojizo oscuro W - pardo casi incoloro. La intensidad de estos colores aumenta hacia la
periferia del cristal y su origen se debe probablemente a inclusiones submicroscópicas.

Es frecuente en estas rocas la presencia de inclusiones líticas microscópicas, constituídas por fragmentos de rocas granosas panalotriomorfas, formadas por individuos de plagioclasa, olivina y clinopiroxeno.

HIALOTRAQUITAS

Estas rocas son semejantes a las traquitas, pero poseen una pasta vitrea. El feldespato alcalino es sanidina, ligeramente más pobre en sodio. La extinción es homogenea y relativamente rápida la forma es euhodral y el hábito más común es el tabular. Presenta muy pocas inclusiones de plagioclasa (menos del 1%).

Los datos ópticos obtenidos son los siguientes (promedio de 16 determinaciones).

7=1.530 t 0.003 %=1.523 t 0.003 2V_= 479 - 559 2V_ prom. = 499

De acuerdo a estos valores las curvas dan una composición de (Ab -An) 60° 40

La composición obtenida a partir de

20-201 - 201010 - 0.75 Arroja un valor de (ab - An) 520738



DE ESTADO DE INDUSTRIA Y MINERIA.
TO NACIONAL DE GEOLOGIA Y MINERIA.
vdo. JULIO A. ROCA 651 - PISO 6°

CAPITAL FEDERAL

- 50 -

MECANISMO DE FLUJO

a) Tobas de aglutinación densa: Boyd (1961), distingue los siguientes mecanismos de erupción de las tobas de aglutinación densa: coladas de ceniza o colada piroclástica, colada de espuma, y caída de ceniza cuyo color original no es suficiente como para producir el soldamiento, por lo que debe provenir de otra fuente que el calor inicial del magma.

En el mecanismo por flujo piroclástico el emplazamiento de la toba de aglutinación densa, consiste en el emplazamiento de una masa formada por partículas finas en estado viscoso y a alta temperatura. El avance de esa masa estaría influenciado por la fuerza de la gravedad, si bien podría jugar un papel importante la propiedad autoexplosiva debida a la liberación violenta de los gases disueltos en el magma.

La colada de espuma, propuesto por Kennedy (1954, pág. nº 495, en Boyd, 1961, pág. 413) tendría semejanza con el derrame de una lava. La toba soldada se produciría por aplastamiento de las bur bujas de gas.

en Boyd 1961) sería similar al de la depositación de las tobas comunes. Como la temperatura no se mantendría hasta la depositación, el origen del calor sería explicado por reacciones gaseosas exotérmicas.

Otro modo de emplazamiento sería el propuesto por Steiner (1960), quien sugiere que algunas ignimbritas de la isla norte de Nueva Zelandia, se habrían producido debido a fenómenos de inmisci-



E ESTADO DE INDUSTRIA Y MINERIA

NACIONAL DE GEOLOGIA Y MINERIA

JULIO A. ROCA 651 - PISO 6°

CAPITAL FEDERAL

. 51 .

bilidad. El magma ignimbrítico saldría a la superficie, no como material piroclástico que se aglutina, sino como una lava, que se expande y fluye con relativa facilidad debido a la separación de dos fases líquidas inmiscibles.

En las Tobas del Portezuelo se han descripto en páginas anteriores dos tipos distintos de depósitos. En los depósitos del fondo de los valles, el encauzamiento del material hace suponer que la masa se ha movido bajo la influencia de la gravedad. Las crestas de presión que están en la superficie indican, además, un flujo similar al de las coladas, que si bien no son tan perfectas como en estas, son lo suficientemente características como para evidenciar que la parte superior de la lengua poseía mayor viscosidad que el resto y que por lo tanto el movimiento era comparativamente más lento. (Véase más abajo). Otra característica que indica que este tipo de depósitos se emplazó por flujo, es la lobulación producida al salir del estrechamiento de la quebrada. Esta fenómeno es similar al de las corrientes de barro.

Los depósitos de laderas y cumbres, en cambio, presentan características que sugieren un mecanismo de flujo distinto. En efecto, su espesor poco variable, su forma de presentarse cubriendo tanto laderas como cumbres, señalan que debe ser otro el mecanismo de emplazamiento; pero el hecho que los depósitos presenten una continuidad en sus afloramientos, está significando que el emplazamiento de ambos ha sido contemporaneo. Por lo tanto los mecanismos de emplazamiento deben estar estrechamente relacionados entre sí. Es probable que los depósitos de laderas y cumbres tengan su origen en una especie de rebasamiento, lento y tranquilo, es decir no explosivo,

Economía de la Nación de Industria y Minería taría de Minería



- 52 -

que fué avanzando como olas sucesivas a partir del lugar donde se originaba, cubriendo masivamente todo lo que encontraba a su paso. En cuanto una quebreda facilitada su desplazamiento, gran parte del material se encauzaba por ella dando origen a las lenguas ya mencionadas.

De los cuatro mecanismos de erupción mencionados más arriba, los depósitos estudiados podrían corresponder tanto a la colada de espuma. No se encontraron evidencias concretas que indiquen uno u otro mecanismo.

b) Traquitas e hialotraquitas: Los escoriales de estas rocas están constituídos por tres o cuatro unidades de flujo, las que se derramaron por el mismo lugar, superponiéndose unos a otras. Cada unidad de flujo avanzo en forma masiva, moviendose todo el frente de la colada en forma conjunta. El origen de las crestas de presión se debe a que la capa superior de la colada era más viscosa que en el resto debido al enfriamiento más rápido, pudiendo llegar a solidificarse. Las capas interiores a mayor velocidad arrastranso a las superiores y presionando hasta producir las crestas de presión, Un mecanismo análogo fué propuesto por Rittman (196, p) para explicar las crestas de presión observadas en recignimbritas. El arqueamiento de las mismas es proporcional a la velocidad de flujo. Por ese motivo es mayor en el centro de la colada que en los bordes. Cuando la velocidad aumenta el arqueamiento de la cresta se hace cada vez mayor, hasta que se ron pe disponiémiose entences en forma paralela a la dirección del flujo (Fig. 6)



DE ESTADO DE INDUSTRIA Y MINERIA

IO NACIONAL DE GEOLOGIA Y MINERIA

Ido. JULIO A. ROCA 651 - PISO 6°

CAPITAL FEDERAL

- 53 -

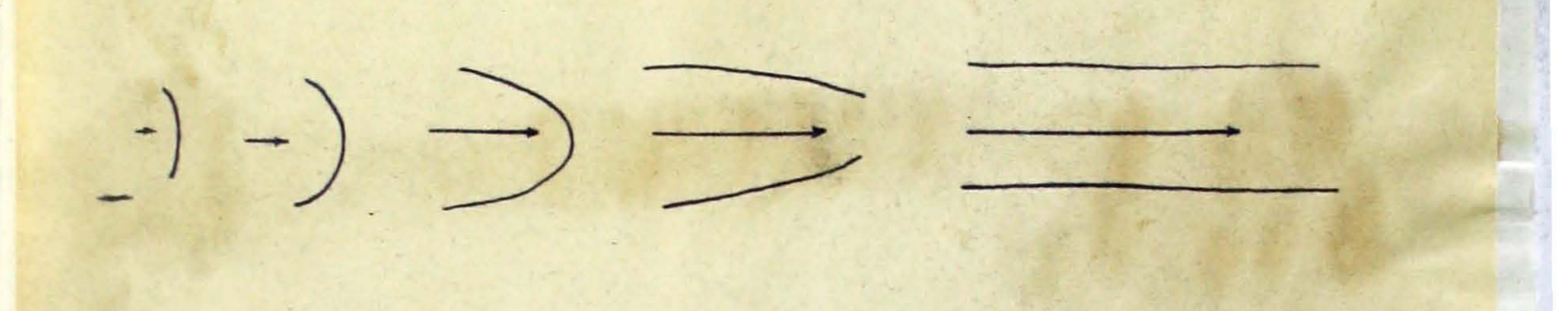


Fig. 6- Esquema de la evolución de las crestas en una colada traquítica. La longitud de la flecha es proporcional a la velocidad de flujo.

c) Basaltos: Generalmente los basaltos comienzan su erupción con una fase piroclástica para luego continuar con el fluir lento de la colada. Este avanza por medio de cales abiertos, que se forman dentro del mismo basalto. El crecimiento lateral respecto a estos canales no es muy claro, pero parece ser debido a rebalses sucesivos y a un poscentaje de avance de frente total, sobre todo en los primeros momentos de la erupción. El enfriamiento más rápido de la masa lateral hace que la lava restante fluya a través de estos canales. (Mac Donald, 1953). Los canales divergen en la porción distal de la colada. Como en esta especie de canales la velocidad de la lava es mayor que en el resto de la colada, se produce la lava en bloques.



NACIONAL DE GEOLOGIA Y MINERIA JULIO A. ROCA 651 - PISO 6°

. 54 .

PETROLOGIA

SECUENCIA DEL VULCANISMO

La variación en la composición de las lavas originada por el vulcanismo central, es distinta a la de las lavas producidas por el vulcanismo adventicio; por esta razón se tratan separadamente.

Vulcanismo central: No se sabe casi nada respecto a la composición de las rocas que forman el cono del volcán Payún Matrú, que sólo está expuesto en unos 250 m de su parte superior de La Nariz. En esta se advierte un aumento en el contenido de SiO2 de abajo hacia arriba. En efecto, en los niveles inferiores de la parte visible, aparecen mantos basálticos que pasan hacia arriba a andesitas y traquiandesitas, y en menor proporción traquitas. En estas rocas se puede decir que finaliza la formación del cono primitivo, debido a que con posterioridad a ellas se inició una faz explosiva que alteró la posición de acceso del material lávico a la superficie. Esta faz explosiva dió origen a una toba de composición entre andesítica y traquial desítica, precedida por una colada de cenizas que formó las tobas de aglutinacióm densa. El volumen expulsado de este material, dejó sin sustentación la parte superior del volcán, causando el hundimiento de la caldera.

En las fracturas elíticas que originaron la caldera, no se registraron efusiones en la parte norte y este, mientras que en la porción ceste y sur ha habido numerosas efusiones que han durado hasta practicamente los tiempos históricos. La primeras efusiones que se registraron por esta fractura fueron de basalto olivínico



NACIONAL DE GEOLOGIA Y MINERIA

JULIO A. ROCA 651 - PISO 6°

CAPITAL FEDERAL

- 55 -

y traquibasalto. Las siguientes poseen una composición traquítica, con cristobalita primaria en la pasta (párrafo traquitas), y tuvieron ori en en la fractura mencionada. Por último se produjeron las efusiones de hialotraquitas.

Vulcanismo adventicio: El vulcanismo lateral se ubica en su mayor parte en las laderas orientales y occidentales del cono primitivo. La composición de las lavas -basalto olivínico- no varía para nada. Esta actividad ha permanecido constante desde antes de la formación de la caldera hasta las últimas efusiones. Los últimos basaltos
olivinícos son practicamente contemporaneos con las hialotraquitas
del vulcanismo central.

En resument La composición de las lavas surgidas en el cono cen tral, cambió desde basalto hasta andesita, traquiandesita y en menor proporción de traquita. Las lavas que se derremaron a continuación de la formación de la caldera, comenzaron con basalto olivínico y traquibasalto y continuaron con voluminosas efusiones de traquita. En cambio, las lavas del vulcanismo adventicio han conservado una composición constante de basalto olivínico.

EVOLUCION DE LOS MINERALES

a) Feldespatos - Aquí (Fig. 7), se nota una variación desde plagioclasa básica (máximo 83% de An) hasta un feldespato alcalino con una
composición de (Ab-An) 600r40. Esta variación está acompañada por
disminución de los minerales fémicos y aumento de SiO2.

El contenido en anortita de las plagioclasas de los basaltos olivinicos varía poce en los diferentes escoriales. Además como los cristeles poseen pequeñas variaciones debidas a la zonalidad tienen una pequeña variación dentro de una misma muestro. La plagio-

traquibasaltos traquiandesitas			traquitas			
5	10 11	9	12			
55.9	61.0 67.56	60.4	66.86			
9 19.4	17.9 17.59	19.2	15.94			
4.5	3.5 1.55	4.3	1.30			
2.3	1.8 0.19	1.3	1.89			
0.2	0.1 0.09	0.1	0.11			
1.9	1.0 0.55	100	0.41			
+ 4.3	2.3 0.93	2.3	0.64			
5.1	6.4 5.81	5.8	5.95			
+ 4.6	4.5 5.49	4.5	5.63			
0.8	0.2 0.45	0.3	0.46			
0.2	0.06		0.04			
0.3	0.8 0.16	0.5	0.52			
. 0.3	0.4 0.03	0.3	0.09			
-		-	-			
99.8	99.9 100.46	100.0	99.84			
3			99.8 100.33 100,2 100.4 100.0 99.9 100.46 Normas de Niggli			

Q				3.5 .		0.9		1.4	2.4	0.8	8.1	7.7
OT	9.0	29.0	15.0	20.0	26.0	26.0	31.0	26.5	26.5	26.5	32.0	33.5
ab	27.5	24.6	41.0	37.5	45.5	49.0	51.0	42.0	52.0	57.0	52.0	53.0
an	22.5	15.7	20.5	18.3	16.5	10.2		17.0	11.5	9.0	5.0	
ne	5.4	7.8					3.0 .					
WO	8.2	6.8	3.8	3.4	1.4	1.8	4.8	1.0	•••••	1.0		. 1.4

	6.2	5.4		3.4	1.4	1.8	4.0	1.0		100		
				201								mines of
			1 14			1.8	2.0	8.0		0.9		0.9
					••••••		2.8	0.2		0.1		0.5
	*****		1.8						2.8	1.9	1.6	0.1
			1.0 .	• • • • • • • • • • • • • • • • • • • •				0.4		0.1		1.1
	8.4		3.7		1.2		1.2 .					
	3.4	0.6	4.0	4.8	4.2	1.2	0.7	0.6	2.4	3.0		. 1.3
	2.8	1.8	2.8	2.8	1.0	1.8	0.2	2.0	0.4	0.2	0.2	0.4
		. 5.4		1.0	0.3	2.4		1.6	1.4 .		1.0	
	1.0	0.2			0.2	1.0	0.2	0.2				
									. 0.5 .			
	******	2.8 .										
							. 1.2 .			*****		
****	100.3	100.1	99.0	9947	99.9	90.9	99.0	99.3	99.9	101.	99.9	99.9
		3.9 3.4 2.8 1.0	3.9	3.9 2,4 3.7 3.9 2,4 2.8 1.8 2.8 5.4 5.4 2.8	3.9 2,4 3.7 3.9 2,4 3.4 0.6 4.0 4.8 2.8 2.8 5.4 1.0 1.0 0.2 1.0 0.2 2.8 2.8 1.0 2.8 2.8 2.8 2.8 2.8 1.0 2.8	3.9 2,4 3.7 1.2 3.4 0.6 4.0 4.8 4.2 2.8 1.8 2.8 2.8 1.0 5.4 1.0 0.3 1.0 0.2 0.2 0.2 2.8 2.8 1.0 0.2 0.2	3.9 2,4	3.9	3.7 1.2 1.2 3.9 2,4 1.5 1.5 3.4 0.6 4.0 4.8 4.2 1.2 0.7 0.6 2.8 1.8 2.8 2.8 1.0 1.8 0.2 2.0 5.4 1.0 0.3 2.4 1.6 1.0 0.2 0.2 1.0 0.2 0.2 1.6 2.8 1.0 0.2 0.2 1.0 0.2 0.2 1.2	8.4 3.7 1.2 1.2 3.9 2,4 1.5 1.5 3.4 0.6 4.0 4.8 4.2 1.2 0.7 0.6 2.4 2.8 1.8 2.8 2.8 1.0 1.8 0.2 2.0 0.4 5.4 1.0 0.3 2.4 1.6 1.4 1.6 1.4 1.0 0.2 0.2 1.0 0.2 0.2 0.5	3.9	3.9 2,4 1.5 1.5 3.4 0.6 4.0 4.8 4.2 1.2 0.7 0.6 2.4 3.0 2.8 1.8 2.8 2.8 1.0 1.8 0.2 2.0 0.4 0.2 0.2 5.4 1.0 0.3 2.4 1.6 1.4 1.0 1.0 0.2 0.2 1.0 0.2 0.2 0.5 2.8 1.2 1.2 0.2 0.2 1.2 0.5 1.2

^{1.} Basalto olivínico. Escorial Media Luna

Muestras 1-6-11-12 analizó B. Lafaille. Departamento de Geología. Buenos Aires.
Muestras 2-3-1-5-7-8-9-10 analizó E. Unía.
Dirección Nacional de Geología y Minería.

^{2.} Basalto olivínico. Parte inferior del perfil de La Nariz

^{3.} Traquibasalto. Escorial El Pichi.

^{4.} Traquibasalto. Escorial El Campamento

^{5.} Traquiandesita. Perfil La Nariz

^{6.} id. 5

^{7.} Toba de aglutinación densa (vitrófiro)
Huaico de la Fortuna.

^{8.} Toba de aglutinación parcial. Punta terminal del escorial de la Media Luna.

^{9.} Traquita. Este Punta Alta Sur

^{10.} Traquita. Farellones blancos del Sur.

^{11.} Traquita. Escorial que rellena la calde-

^{12.} Hialotraquita. Escorial El Huecú.



ESTADO DE INDUSTRIA Y MINERIA

JULIO A. ROCA 651 - PISO 6°

CAPITAL FEDERAL

- 56 -

clasa del escorial de la Media Luna contiene 82% de anortita, mientras que en el escorial que nace en el cerro La Escoria, el porcentaje de anortita es de 68%.

En las andesitas y traquiandesitas de La Nariz el rango de la variación es mucho mayor. En efecto, existe una marcada variación entre la composición del núcleo y la de las zonas externas (véase petrografía, andesitas y traquiandesitas), como si existiera una discontinuidad composicional en el crecimiento del cristal. El enriquecimiento en albita en estas plagioclasa va acompañado de una disminución en los minerales ferromagnésicos y una menor estabilidad en ellos evidenciada por los anillos de alteración que poseen.

netamente alcalino con una composición de (Ab-An)80020. Sin embargo algunos de estos fenocristales llevan múcleos de plagioclasa (andesina hasta oligoclasa) parcial o totalmente reabosorbidas por este feldespato alcalino. Este fenómeno es análogo al descripto anteriormente, salvo que los feldespatos que entran en juego son mas ricos en el componente albita. En estas rocas el porcentaje de fémicos ha disminuído hasta un 10% y la olivina se ha enriquecido en hierro. Se observa además cristobalita primaria en la pasta.

Este feldespato alcalino es ligeramente más rico en ortosa en las efusiones hialotraquíticas. La composición es ahora (Ab -An) 60°40 y los fenocristales presentan en menor proporción núcleos de plagioclasa. Su extinción y aspecto es más homogeneo que en los anteriores, por lo que suponemos existieron en el magma menos cristales de plagioclasa formados, por lo que sanidina pudo cristalizar directamente sin tener ue reemplazar los cristales de plagioclasa previamente formados.



RIA DE ESTADO DE INDUSTRIA Y MINERIA

TTUTO NACIONAL DE GEOLOGIA Y MINERIA

Avda. JULIO A. ROCA 651 - PISO 6°

CAPITAL FEDERAL

- 57 -

La Fig. 7 representa el diagrama de variación de los feldespatos normativos del Payún Matrú. Si se tiene en cuenta solamente los análisis que corresponden a rocas del vulcanismo central, se observa que la composición de los feldespatos normativos, aumenta -a excepción de 7-, gradualmente en albita y ortosa cuanto más jovenes se hacen las lavas. El análisis nº 7, corresponde a una toba de aglutinación densa (Huaico de la Fortuna).

b) Olivina - La relación entre la composición de la olivina y la de los feldespatos está dada en la Fig. 8. Se nota que la olivina se va enriqueciendo en fayalita a medida que aumenta el contenido de sodio en la plagioclasa y de SiO2 en la roca.

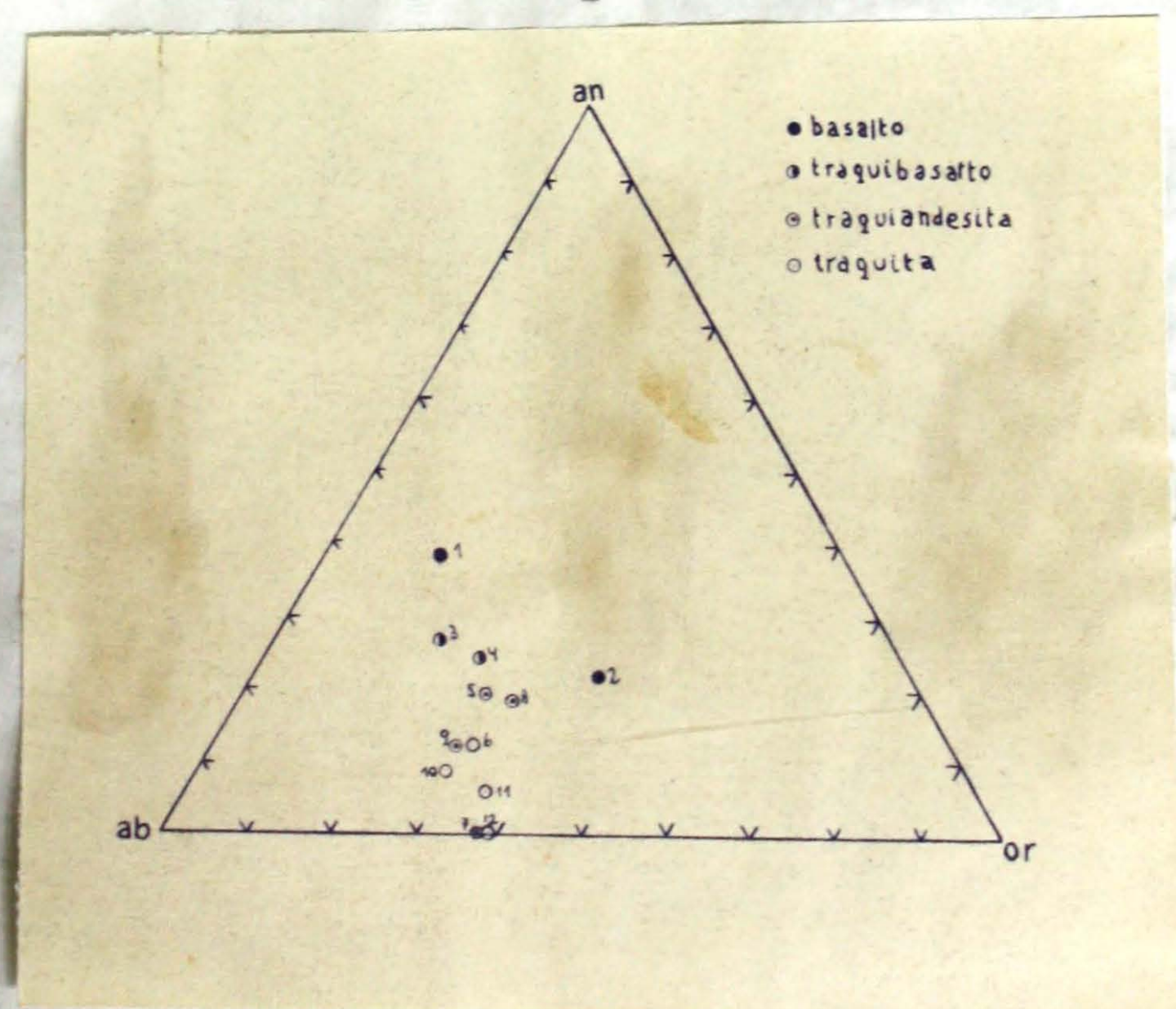


Fig. 7- Composición normativa de los feldespatos de las rocas del volcán Payún Matrú. Los números corresponden a los análisis de la tabla 1.



DE ESTADO DE INDUSTRIA Y MINERIA

O NACIONAL DE GEOLOGIA Y MINERIA

da. JULIO A. ROCA 651 - PISO 6°

CAPITAL FEDERAL

- 58 -

c) Piroxeno - No se observa ninguna variación en la composición del piroxeno, el cual se mantiene como augita diopsidica (algo titanífera) a través de todas las coladas. La cantidad de piroxeno en las rocas varía sin embergo paralelamente al de la olivina.

DIAGRAMA DE VARIACION

En la tabla 1 se dan los análisis químicos de las rocas más representativas del volcán Payún Matrú. Los múmeros de los
análisis representan, en orden decreciente de edad, las siguientes
unidades: 2 - 5 - 6 - 7, Andesitas y traquiandesitas de la Nariz;
7 - 8, Tobas del Portezuelo; 3 - 4, Basaltos del Molla; 10 - 11,
Traquitas de la Calle; 12, Hialotraquitas de La Esplanada; 1, Basalto de la Media Luna. En los basaltos de las muestras 1 y 2 en la toba de aglutinación densa, de composición traquiendesítica 7, aparece
nefelina en la norma. Sin embargo no se pudo observar en los cortes
transparentes estudiados. El basalto del análisis 2, posee calcita e
en la norma, que corresponde a la calcita que se halla rellenando
parcialmente vesículas, la que no pudo ser separada completamente de
la muestra.

En la Fig. 9 y 10, se dan los diagramas de variación de óxidos respecto a sílice y el ideado por Larsen, respectivamente. En ellos se observa que disminuyen FeO, MgO, y CaO y aumentan los alcalis respecto a la sílice. La alúmina sufre muy pocas variaciones

El diagrama de la Fig. 11, permite determinar el indice alcalino-cálcico de Peacock, por el cual se determina el grado de alcalinidad de un conjunto de rocas.



INSTITUTO NACIONAL DE GEOLOGIA Y MINERIA

Avda. JULIO A. ROCA 651 - PISO 6°

CAPITAL FEDERAL

59 •

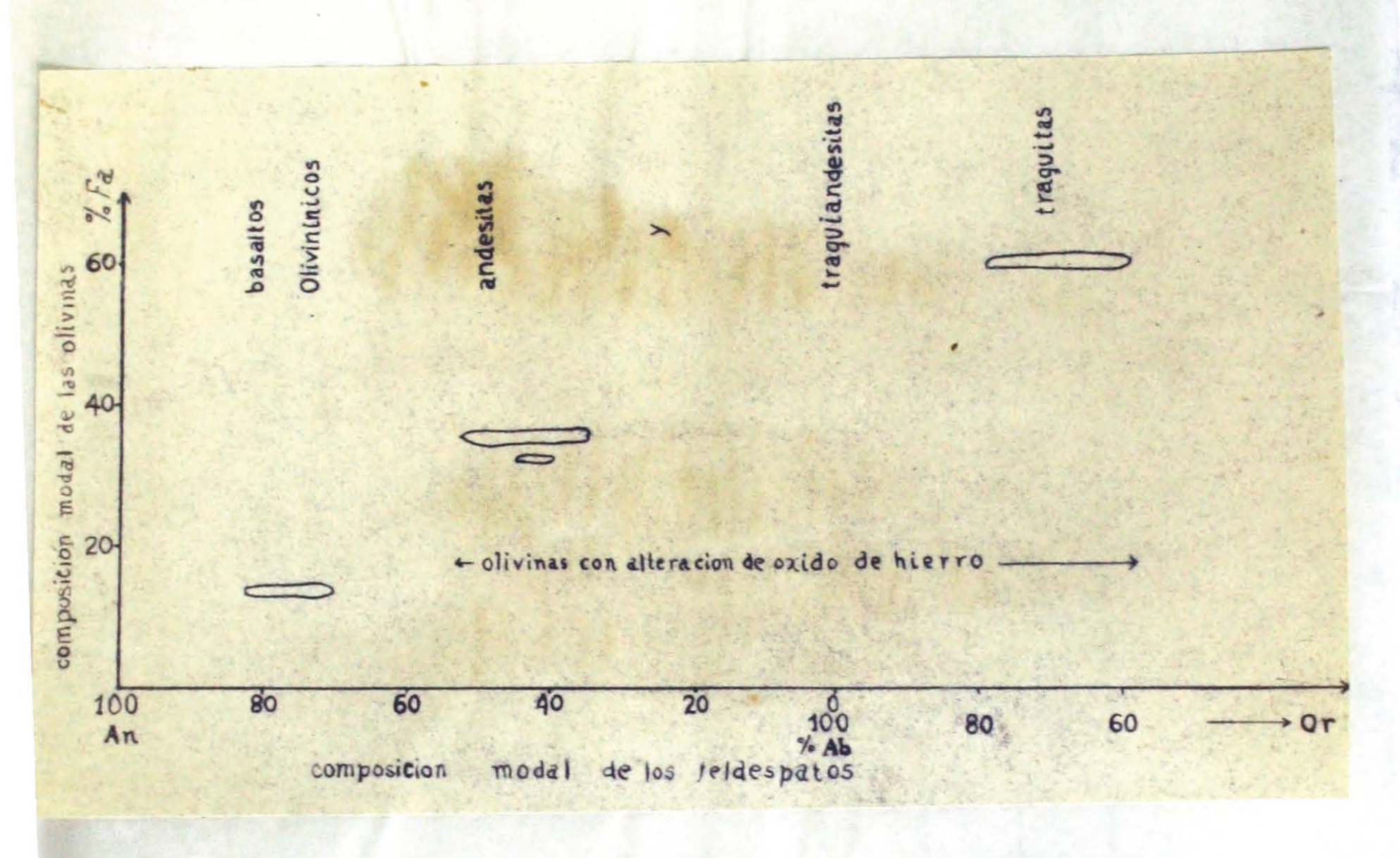
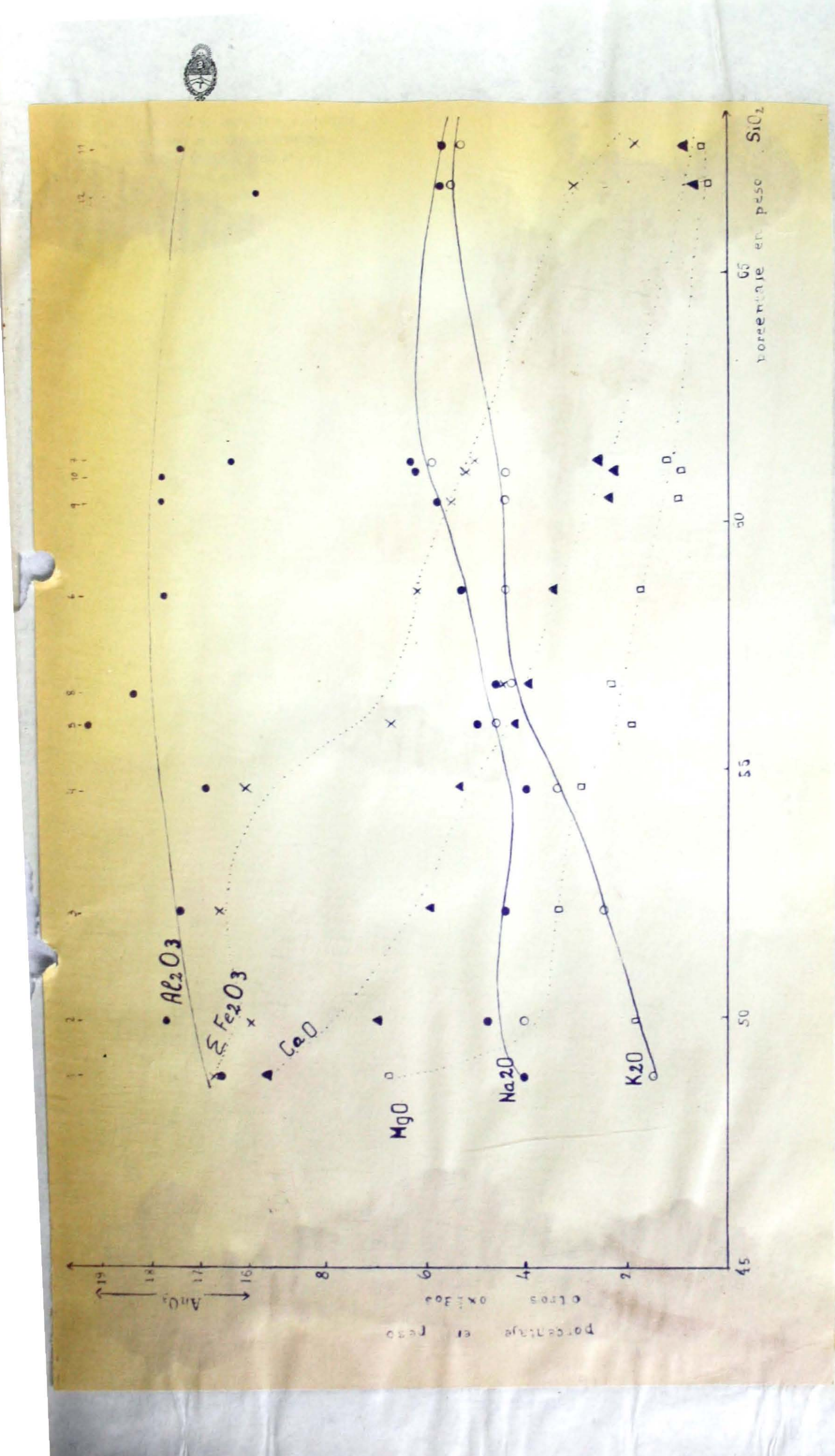


Fig. 8 - Variación de la composición de los fenocristales de olivina con respecto a la composición de los fenocristales de feldespato en las lavas del aparato volcánico central del Payún Matrú.

En este diagrama de variación se representan las curvas para CaO y para (Na₂O = K₂O). El punto de intersección de ambas curvas expresados en términos del porcentaje de SiO₂, es el índice alcalino-cálcico. Los límites de la clasificación son los siguientes - alcalino 51 alcalino-cálcico 56 cálcico-alcalino 61 calcico.

Payún Matrú es de 51.5 que corresp nde a la parte más alcalina de la división alcalina cálcica.



Variación pera les roces del volcán Fayún Matrú. superior corresponden a los análisis de la Tabla Diegrama de de la parte

conomía de la Nación de Industria y Minería aría de Minería



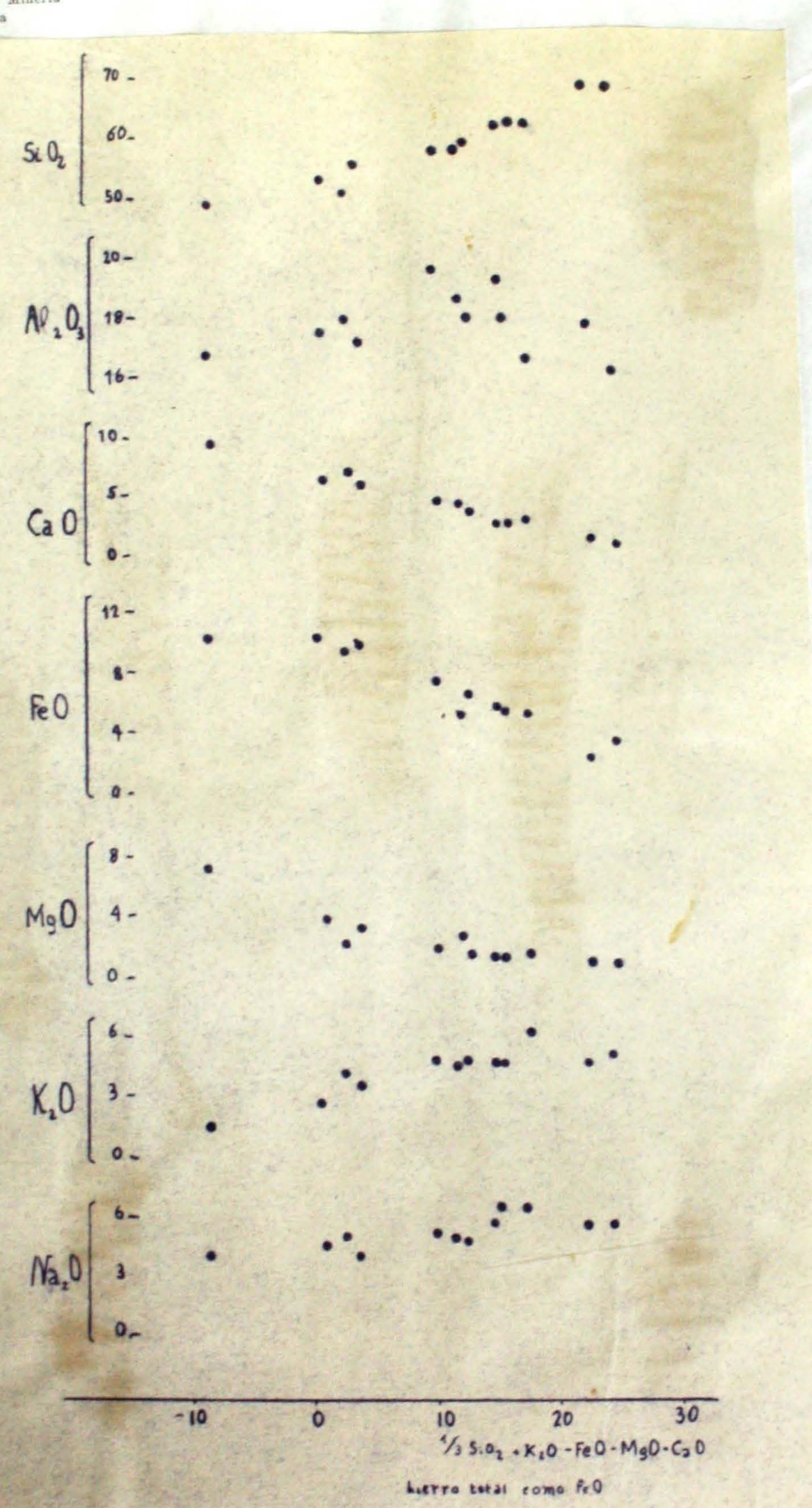


Fig. 10 - Diagrama de variación de Larsen de las rocas del volcán Payún Matrú.



ONAL DE GEOLOGIA Y MINERIA

O A. ROCA 651 - PISO 6°

CAPITAL FEDERAL

- 68 -

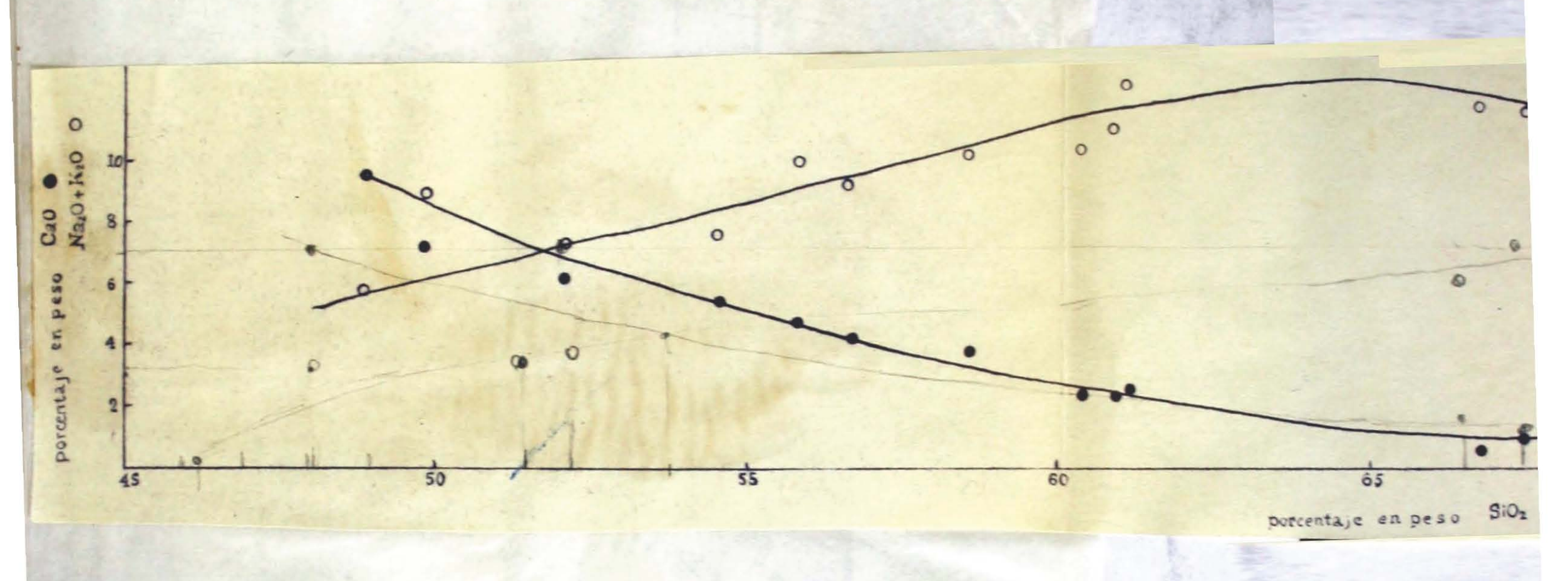


Fig. 11 - Indice alcalino-cálcico de las rocas del volcán Payún Matrú.

En la Fig. 12, se da el diagrama SKM, que es una molficación del diagrama triangular QLM de von Wolff, ideado por J.
nompson (Schmidt, 1957, p. 152) S.K.M. son cantidades moleculares qu
ne representan: S - SiO₂ - 2CaO; K-6 (Na₂O-K₂O) y M-MgO - FeO2O₃ - TiO₂ - CaO - Na₂O - K₂O - Al₂O₃.

En este diagrama la linea horizontal media representa limite del campo de saturación de sílice. Por encima de esta las entienen un exceso de sílice (sobresaturadas), y sus componens son saturados. Debajo de esta linea todas las rocas son deficiens en sílice (subsaturadas) y contienen uno o más minerales con messilice que la requerida para la saturación. Los extremos de esta nea representan feldespatos alcalinos normativos e hipersteno. La nea que une S-K abarca los componentes leucocráticos y la que une



CRETARIA DE ESTADO DE INDUSTRIA Y MINERIA INSTITUTO NACIONAL DE GEOLOGIA Y MINERIA PAYUN MATRU 5,02-2000 basalto olvinico Cuarzo traqui-basalto o traqui-andesita traquita ROCAS TIPO DALY traquita alcalina traquita subalcalina basalto Feldespato Hypersteno Alcalino Leucita Olivina Nefelina Mg0+Fe0+Mn0-Fe203-Ti02-Ca0-Na2C 3 (Na20+K20) % MOLECULAR -K=0+A1203

- 63 -

Fig. 12.- Diagrama S K M de las rocas del volcan Payún Matrú y de rocas tipo Daly.



ESTADO DE INDUSTRIA Y MINERIA

NACIONAL DE GEOLOGIA Y MINERIA

JULIO A. ROCA 651 - PISO 69

CAPITAL FEDERAL

- 62 -

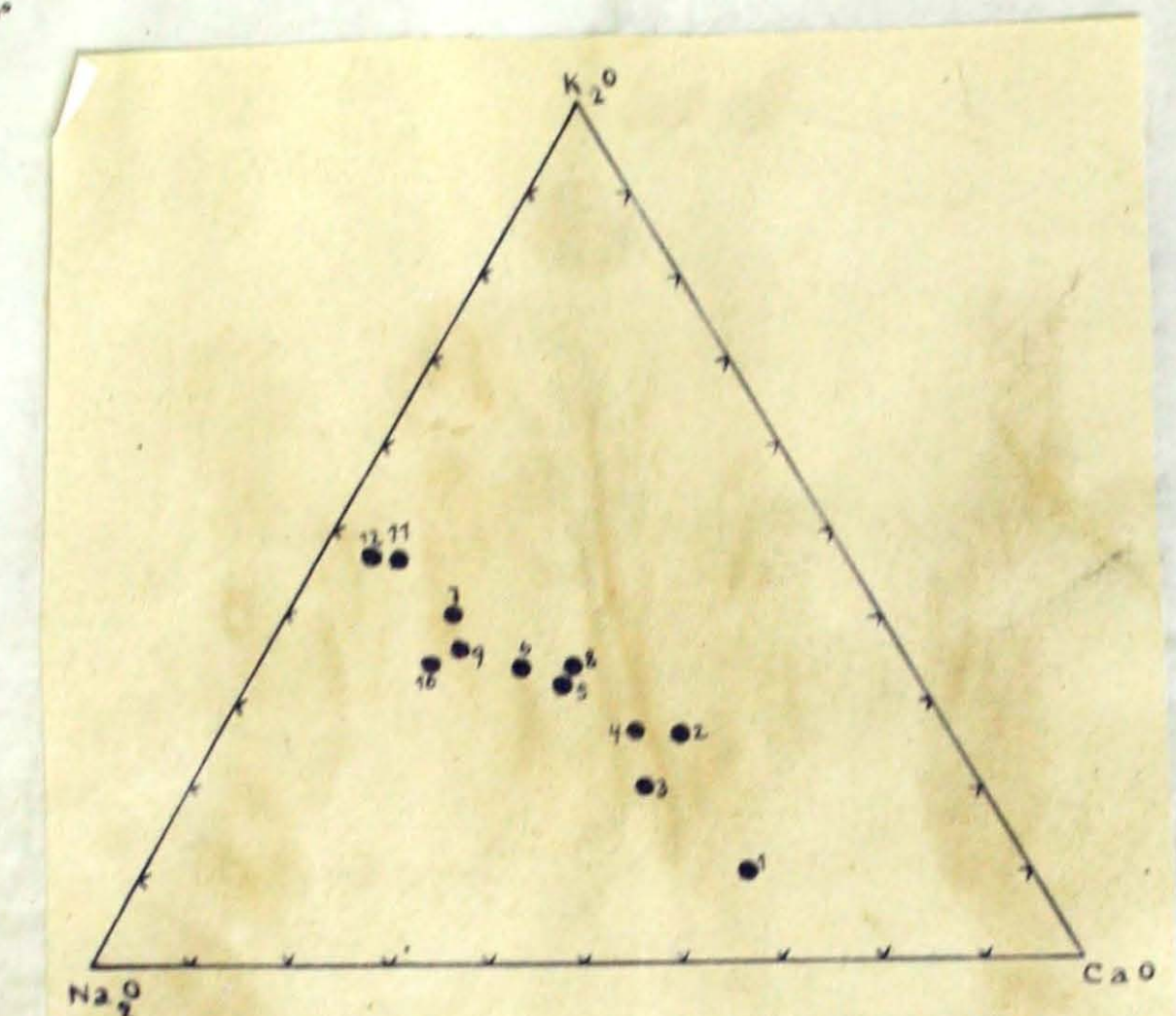


Fig. 13 - Variación en el contenido de álcalis respecto a CaO en las lavas del volcán Payún Matrú. Los números corresponden a los análisis de la tabla 1.

S-M los fémicos. La principal ventaja del diagrama SKM es que las líneas que unen los minerales normativos llegan a ser válidas como límites de fases con la remoción de feldespatos cálcicos y piroxenos El diagrama es así una solución grafica percial de la norma, y la composición de cualquier roca puede ser expresada en términos de una combinación de tres compenentes minerales normativos. Todas las rocas analizadas del Payún Matrú caen abajo de la línea de saturación y dentro del traingulo formado por los minerales normativos olivina-feldespato alcalino-nefelina.



DE ESTADO DE INDUSTRIA Y MINERIA

D NACIONAL DE GEOLOGIA Y MINERIA

10. JULIO A. ROCA 651 - FISO 6°

CAPITAL FEDERAL

- 65 -

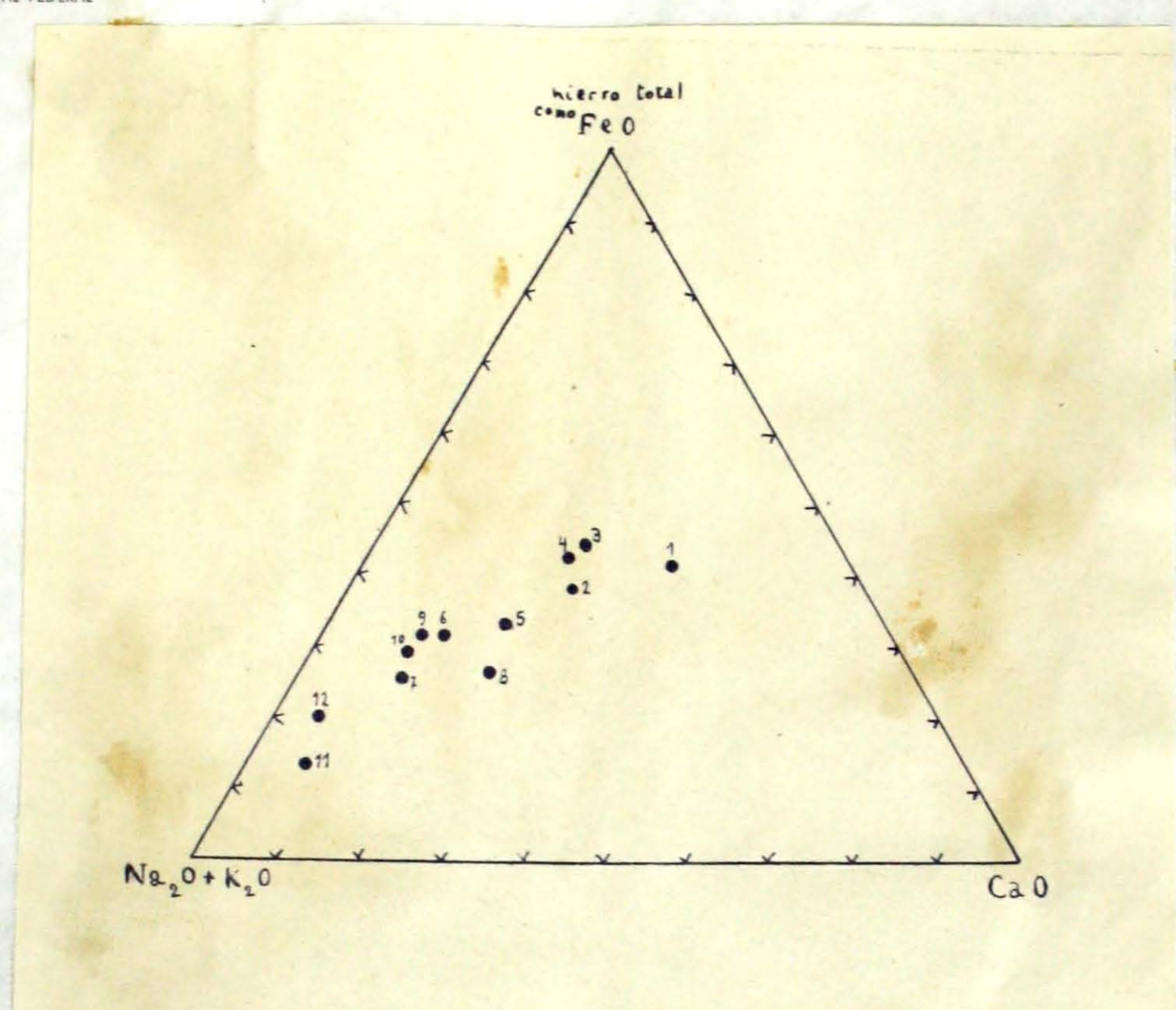


Fig. 14 - Variación en el contenido de álcalis respecto a FeO total y CaO de las rocas del volcán Payún Matrú. Los números corresponden a los análisis de la tabla 1.

Las figuras 13, 14 y 15 representan diagramas triangulares cuyos vértices son: K₂0 - Na₂0 - Ca0; Fe0 - (Na₂0-K₂0). Ca0; y Fe0 - (Na₂0-K₂0) - M_g0 respectivamente. En el diagrama de la figura 13 se observa una enriquecimiento parejo de Na₂0 y K₂0 y una disminución directa de Ca0. En el diagrama de la figura 14 se observa un aumento en álcalis y una disminución de Ca0 y Fe0. El diagrama de la figura 15 indica un pequeño enriquecimiento en hierro con disminución de NgO y un aumento marcado de los álcalis.

conomía de la Nación de Industria y Minería uría de Minería



- 66 -

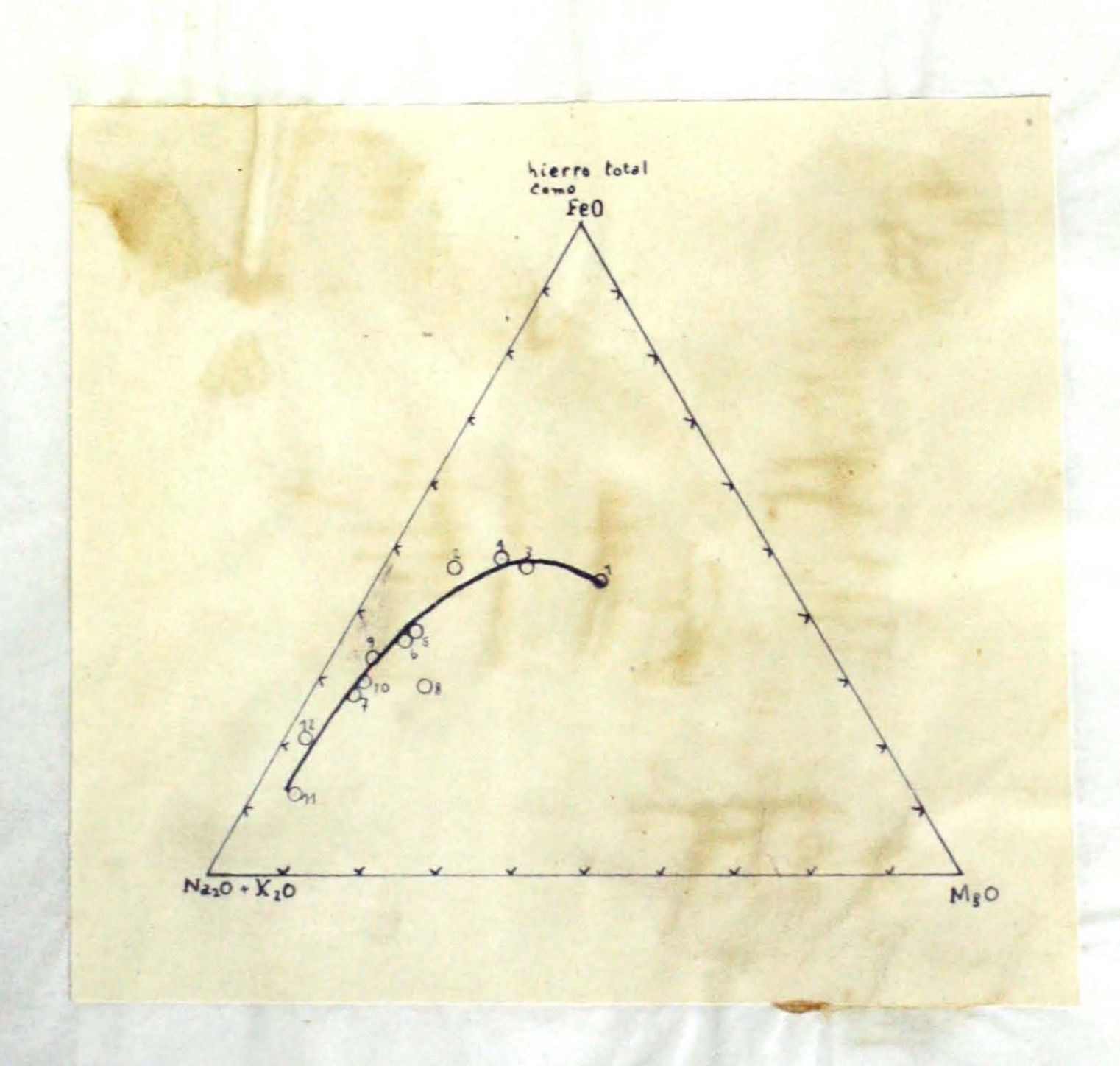


Fig. 15 - Variación en el contenido de álcalis y FeO total respecto a MgO de las lavas del volcán Payún Matrú. Los números corresponden a los análisis de la tabla 1.



DE ESTADO DE INDUSTRIA Y MINERIA

NACIONAL DE GEOLOGIA Y MINERIA

JULIO A. ROCA 651 - PISO 6°

CAPITAL FEDERAL

- 67 -

COMPARACION CON OTRAS AREAS

Tres series diferentes de conjuntos de rocas se han distinguido en base al carácter petrográfico de las distintas asociaciones volcánicas. Ellas sons serie Pacífica, serie Atlántica y serie Mediterranea. La distinción de las mismas puede efectuarse por medio de distintos diagramas de variación en los cuales son representados los velores de los álcalis respecto a la sílice. Ritteman (1963, p. 110) encontró que el velor — (Naco - Roo)2 es útil para la distinción entre las tres series distintas.

Los valores de para las rocas volcánicas del Payún Matrú, oscilan entre 4,9 y 11, 6, siendo el valor promedio. 6.6 Dado el porcentaje en peso Na₂ K₂O estas rocas pertenecen a la serie Atlántica débil.

Son varias las localidades en las cuales aparece un conjunto de rocas cuya composición es parecida a la del Payún Matrú. Entre algunas de ellas se pueden mencionar las islas Samoa, islas Truk y las islas Hawai.

En las islas Samoa predomina el basalto olivínico y está acompañado por basaltos picríticos, andesitas, andesitas oligoclásicas y traquitas cuarcíferas. El índice alcali-calcio de Peacock es 51. Esta variedad de rocas la atribuye Man Donald (1944) a la diferenciación de basalto clivínico. La remoción de abundante olivina es la causante, probablemente, del enriquecimiento en sílice.

En la isla Truk, Islas Carolinas Orienteles, se tiene la siguiente serie de rocas: basalto olivinico (el más abendante), basalto nefelínico (con o sin melilita, andesita, traquitas sódicas y traquitas cuarciferas (Stark y Hay, 1963). Según estos autores



DE ESTADO DE INDUSTRIA Y MINERIA
TO NACIONAL DE GEOLOGIA Y MINERIA
vdo. JULIO A. ROCA 651 - PISO 6°

CAPITAL FEDERAL

- 68 -

muchas de estas lavas pueden ser explicadas por cristalización fraccionada de un basalto olivínico sub-saturado. El origen de la sílice es un problema que no pudo ser resuelto debido a la falta de datos.

Las rocas del Payún Matrú son semejantes a la fase declinante de Hawai. Powers (1955) señala que el basalto olivínico es un producto de una fase declinante de la formación del escudo y su volumen es insignificante. Concluye que el magma parental es aproximadamente saturada respecto a sílice.



PE ESTADO DE INDUSTRIA Y MINERIA

NACIONAL DE GEOLOGIA Y MINERIA

1. JULIO A. ROCA 651 - PISO 6°

CAPITAL FEDERAL

- 69 -

PETROGENESIS

La composición del magma primario no diferenciado en el volcán Payún Matrú es difícil establecer porque no se observan afloramientos que puedan atribuirse con seguridad a la cristalización de magmas primarios. Sin embargo, la abundancia de basalto olivínico, tanto en el propio volcán - como efusiones adventicias - como también en gran parte a la llanura vecina, donde se destacan numerosos volcanes aislados y enormes escoriales de este material, indica la preponderancia de esta roca, que podría suponerse cristalizada a partir de un magma primario. Loa análisis químicos realizados, son muy pocos, por lo que no se lo puede caracterizar químicamente. La muestra analizada, procedente del escorial de La Media Luna (tabla l, análisis l), indicaría que se trata de una roca subsaturada con es casa nefelina normativa. Pero recién con mayor cantidad de análisis químicos que se realizarán en el futuro, podrá obtenerse una idea más acabada sobre la composición química de estas rocas.

La evolución petrográfica del volcán Payún Matrú es sencilla, no encontrándose terminos ni muy básicos ni muy alcalinos. La secuencia que aparece en el desarrollo del vulcanismo es la siguiente:

Basalto olivínico - traquibasalto - traquiandesita - traquita.

Son varios los mecanismos propuestos para explicar la variedad de composición de las rocas de una misma asociación. Entre los más importantes se encuentran: diferenciación magmática, asimilación y mezcla de magmas. En cuanto a los procesos más comunes dentro de la diferenciación magmatica se pueden citar: cristalización fraccionada; diferenciación gravitativa y transferencia gaseosa.

de Economía de la Nación stado de Industria y Minería secretaria de Minería



- 70 -

En el Payún Matrú la evolución del magma se puede seguir en gran parte por la transformación sucesiva de los feldespatos, que como ya se ha visto en párra os anteriores, pasan gradualmente de plagioclasa básica a sanidina rica en albita. Es muy sugestivo el hecho que los feldespatos contengan en muchos casos un núcleo de composición más básica. El origen de los mismos se puede deber ya sea a la cristalización de un líquido más básico que luego se acidificó rápidamente por cristalización fraccionada o sino por la inclusión de cristales de plagioclasa, procedentes de la diagregación de las rocas que sirven de paredes a la camara magmática. En este último caso el feldespato que se encuentra cristalizado en este magma - más rico en albita que el que es disgregado- crecería sobre los feldespatos más anortíticos proporcionados por la disgregación de la roca. El hecho de que los núcleos se compongan frecuentemente de un único cristal hace poco probable esta hipótesis, debido a que aparecerían más a menudo formados por dos o más cristales y estarían incluídos además otros elementos. Las inclusiones líticas observadas, no son lo suficientemente abundantes como para avalar esta idea.

En cuanto a la hipótesis por cristalización de un líquido que se addifca, estaría explicada por el diagrama ternario An-Ab-Or (Tuttle y Bowen, 1958). En este diagrama, un líquido cuya composición se encuentra dentro del campo de los feldespatos, comenzará a cristalizar al descender lentamente la temperatura; una plagioclasa cuyo contenido en anortita será mayor que el del líquido con el cual está en contacto. Si estos cristales de plagioclasa son impedidos de reaccionar, para dar los correspondientes cristales menos ricos en anortita, que se producirián en el curso de una cristalización normal, la nueva plagioclasa, con un contenido de albita relativamente mayor que el que le correspondería, crecerá sobre los pri-



DE ESTADO DE INDUSTRIA Y MINERIA

D NACIONAL DE GEOLOGIA Y MINERIA

Ia. JULIO A. ROCA 651 - PISO 6°

CAPITAL FEDERAL

- 71 -

meros cristales formedos. Con un mayor descenso de la temperatura, el líquido alcanza la curva que sirve de límite entre los campos de feldespato potásico y plagioclasa y se produce la cristalización simultánea de los feldespatos alcalines y la plagioclasa. Si esta última tampoco alcanza a reaccionar en este caso con el líquido, se produce la cristalización de la sanidina sobre el cristal de plagioclasa. En otras palabras; la interrupción del equilibrio durante la cristalización del feldespato provocaría una especie de zonación, que sería causada porque los feldespatos formados con anterioridad no reaccionarían con el líquido y servirían como múcleos de cristalización a feldespatos que por tal motivo serían relativamente más alcalinos que en el curso de una cristalización normal.

La zonación de los feldespatos observados en las rocas del volcán Payún Matrú, podría originar una cristalización fraccionada que conduciria, si bien en pequeña escala, a la diferenciación de las rocas.

Durante este proceso la olivina, a parte de disminuir su abundancia, se enriquece en fayalita, lo que podría explicarse por la separación de los cristales de elivina primitivamente formados, originando una disminución en magnesio y un aumento relativo en hierro. Por estos mismos motivos disminuiría la abundancia del clinopiroxeno.

El enriquecimiento en sílice (algunas traquitas tienen hasta 8,1% de cuarzo normativo) es un hecho que no puede explicarse debido a la escases de datos. Barth (1936) llegó a la conclusión que el requisito para producir un residuo saturado, es que el líquido basáltico inicial contenga nefelina en la norma, pero que bajo diferentes condiciones podría llegerse a líquidos sobresatura os en sílice.



DE ESTADO DE INDUSTRIA Y MINERIA

NACIONAL DE GEOLOGIA Y MINERIA

JULIO A. ROCA 651 - PISO 6°

- 72 -

En cuanto a otros mecanismos sugeridos para explicar la variedad de rocas, no se observan evidencias como para explicar los distintos tipos de rocas del volcán Payún Matrú. Algunos indicios, como ser la especularita rellenando diaclasas, revelarían que la transferencia gaseosa ha sido efectiva, pero en un volumen tan reducido, que su importancia sería practicamente insignificante. La presencia de alunita en algunas rocas indicaría transporte de azufre, potasio y aluminio, si la m sma no se ha formado por reacción de gases ricos en SO2 o SO3 con la roca hospedante, lo que es poco probable.

La diferenciación magmática en el volcán Papún Matrú, se presenta solamente en el vulcanismo central. El vulcanismo adventicio no cambia su composición a través de sus diversas efusiones.

Debido a esto se puede observar la contemporaneidad de basaltos olimivínicos con traquitas. Mac Donald (1949) propuso para explicar, en una misma zona, de dos tipos de lavas tan distintos como basalto picrítico y andesita y también traquitas, que las fracturas que unirían la superficie con la cámara magmática, se conectarían con esta a diversas profundidades, de modo que drenarían magmas de distinta composición, por encontrarse estos estraitificados por diferencias en el peso específico de los líquidos magmáticos.

Sería posible también explicar la contemporaneidad de basalto olivínico y traquita en los vulcanismos adventicios y centrol respectivamente, del volcán Payún Matrú, por el comportamiento distinto de sus magmas. Los líquidos de composición traqútica, ya diferenciados, ascenderían muy lentamente, pero en forma continuada, hacia la superficie a través de diversas fracturas. Durante la ascensión irían formando sucesivamente cavidades, debido a la alta visco-



E ESTADO DE INDUSTRIA Y MINERIA

NACIONAL DE GEOLOGIA Y MINERIA

JULIO A. ROCA 651 - PISO 6°

CAPITAL FEDERAL

- 73-

sidad del líquido, el cual gracias a esta propiedad ejercería presiones laterales sobre las paredes que los contienen, produciendo
en aquellos lugares que le son favorables reservorios magmáticos
independientes. En cuando se producirían movimientos de indole general que favorecen la erupción, estos reservorios se pondrían en contacto con la superficie, fluyendo así la lava. La diferencia entre
traquita e hialotraquita se explicaría suponiendo que estas últimas
estuvieron mas cercanas a la superficie que las otras y por lo tanto no alcanzaron a formarse microlitas en la pasta a causa de su rápido enfriamiento.

El comportamiento de los líquidos basálticos sería distinto ya que debido a su mayor viscosidad, no podrían formar los reservorios como lo harían las rocas ácidas, porque se escurrirían prontamente tanto hacia arriba como hacia abajo. En cambio durante las épocas que se producen fracturaciones, los magmas basálticos ascenderián con suma rapidez y podrían cubrir el trayecto hacia la superficie en igual tiempo que los líquidos traquíticos, a pesar de encontrarse a mayor profundidad.

Un ejemplo de la diferencia del comportamiento de magmas basálticos y riodacíticos durante el emplazamiento, pudo observar el autor en Farallón Negro, departamento de Hualfín, provincia de Catamarca. En esta comarca donde la erosión dejó al descubierto las partes profundas de un vulcanismo neoterciario, las rocas basálticas se presenten en diques de espesor de la 5 m de rumbo predominante NW en que cada una de ellas se mantiene muy poco variable, mientras que las rocas riodacíticas aparecen en forma de cuerpos globosos relativamente grandes (hasta 1-2 km²) a veces alargados en forma similar a diques. Estos cuerpos están alineados con el mismo rumbo que los diques basálticos.



ESTADO DE INDUSTRIA Y MINERIA

IACIONAL DE GEOLOGIA Y MINERIA

JULIO A. ROCA 651 - PISO 6°

CAPITAL FEDERAL

- 74 -

CONCLUSIONES

- 1) El Payún Matrú es un volcán de formas achatadas, que se levanta en medio de una llanura cubierta por enormes derrames de basalto. La forma achata se debe, por un lado, a la implantación en sus laderas orientales y occidentales de numerosos volcanes adventicios, y por otra al hundimiento de la caldera.
- 2) No se aportan nuevos datos sobre las edades de las distintas unidades. Se puede precisar, sin embargo, que las últimas efusiones se han producido en tiempos prehistóricos.
- 3) Se distinguen dos tipos distintos de vulcanismo: uno central y otro adventicio. En el primero predominan basaltos, andesitas,
 traquiandesitas, traquibasaltos y traquitas, y las lavas tienen preponderancia sobre las rocas piroclásticas. En el segundo tipo las lavas vatán compuestas por basálticos olivínicos exclusivamente, y la
 participación de material piroclástico es muy reducida.
- 4) Dentro de la evolución del vulcanismo central se diferencian dos etapas distintas: La primera corresponde a la época que abarca desde el comienzo de la construcción del aparato central hasta la formación de la caldera. La segunda se extiende desde ese momento hasta las últimas efusiones producidas. En este segundo período la mayoría de las chimeneas se distribuyen a lo largo de la porción occidental y meridienal de la frectura que dió origen a la caldera.
- 5) Las tobas de aglutinación densa se han originado por un mecanismo análogo a la caldera de ceniza, con participación probablemente de una especie de colada de espuma.



DE ESTADO DE INDUSTRIA Y MINERIA

) NACIONAL DE GEOLOGIA Y MINERIA

lo. JULIO A. ROCA 651 - PISO 6°

CAPITAL FEDERAL

- 75 -

- 6) La composición de los feldespatos varía en forma transicional desde bitowmita hasta sanidina sódica. Parte de los fenocristales de feldespato de las andesitas, traquiandesitas y traquitas, contienen en su interior un núcleo de feldespato que es de carácter más
 básico que el que lo contiene.
- 7) La composición modal y normativa de las lavas producidas por el vulcanismo central, fué evolucionando a través de sucesivas etapas, con aumento de SiO2 y álcalis, y disminución de MgO, FeO y CaO.
- 8) La variación en la composición de las rocas producidas por el vulcanismo centr l puede explicarse por cristalización fraccionada en la cual toma parte la zonación de los feldespatos. Diaclasas con especularita y alúmina reemplazando masivamente la roca, indican aunque en pequeña escala, procesos de transferencia gaseosa.
- 9) La contemporaneidad de basaltos olivínicos con traquitas en los vulcanismos adventicio y central respectivamente, se explicaría por las diferentes viscosidades de sus líquidos magmáticos. Los de composición traquítica, debido a su viscosidad relativamente alta, ascenderián lentamente y formarían a su paso reservorios magmáticos independientes. En cambio los líquidos basálticos, por su menor viscosidad ascenderían mucho más ráidamente, desde lugares más profundos. La diferencia en la velocidad de ascensión entre ambos, originaría la contemporaneidad de los mismos, ya que los líquidos magmáticos traquíticos, que yacerían en reservorios cercanos a la superficie, cubrirían su trayecto en sun tiempo relativamente similar a los basálticos, a pesar ue el recorrido de éstos, por encontrarse a mayor profundidad, sería mucho mayor.



JAM CIONAL DE GEOLOGIA Y MINERIA

OR A JUIO A. ROCA 651 - PISO 6°

LATIRE CAPITAL FEDERAL

- 76 -

- 10) El ímice de alcalinidad de Peacock de las rocas del volcán Payún Matrú, es de 51,5, que corresponde a la parte más alcalina de la división alcalino-cálcica.
 - 11) El carácter alcalino del conjunto de rocas del Payún Matrú, coloca a estas rocas dentro de la serie Atlántica.

BUENOS AIRES, Setiembre de 1965 E LL/Gs.-

Dr. Edwardo Llambias



INSTITUTO NACIONAL DE GEOLOGIA Y MINERIA

Avda. JULIO A. ROCA 651 - PISO 6°

CAPITAL FEDERAL

- 77-

BIBLIOGRAFIA

- BARTH, T.F.N., 1936 The crystalization process of basalt (a, supplement and a reply. Am. Journ. Sci., T. 181, 351-381.
- BLACKWELDER, E., 1934 Yardangs Bull. Geol. Soc. América. T. 45, pp. 159 166.
- BOYD, 1961- Welded Tuff and flows in the rhyolite plateau of Yellowstone Park, Wyoming. Bull. Geol. Soc. America, T.72, pp. 387-426.
- CHOUBERT, C., 1963 Essai de nise au point du probleme des "ignimbrites". Bull. Volc. T. XXV. pp. 125-140.
- DALY, R., 1933 The igneous rocks and the depth of the larth. Mc. Grow Hill. Nueva York.
- FINCH, R.H., 1933 Block lava. Journ Geol. T. 51, pp.769-770.
- GONZALEZ BONORINO F., 1944 Nota sobre la presencia de ignimbritas en la Argentina. Notas Museo de La Plata. Tomo IX, Geol. nº 35.
- GROEBER, P., 1926 Toponimia araucana GAEA, Soc. Arg. Est. Geol.
 - " 1937 Descripción de la Hoja 30c Puntilla de Huincan Inf. inédito Dir. Nac. de Geol. y Minería- (publicada la Hoja)
 - " 1946 Observaciones geológicas a lo largo del meridiano 70.1. Hoja Chos Malal. Rev. Soc. Geol. Arg. I, nº 3, pp. 177-228.
- KENNEDY, G.C., 1954 Some aspectos of the role of Water in rock melts Geol. Soc. America Special Paper 62, pp.489-503 En Boyd, 1961
- MAC DONAID, C.A., 1944 Petrography of the Samoan Island. Bull. Geol. Soc. America, T. 55, pp. 1333-1362.
 - " ", 1949 Hawaiian Petrographic province. Id T. 60, 60, pp. 1541-1596.
 - " " 1953 Pahoehoe, aa and block lava. Am. Jour. Sci. T. 251, pp. 169-191.
- MANSFIELD, G.R. y ROSS, C.S., 1935 Welded rhyolite tuffs in sou theastern Idaho. Am. Geophys Uniton Trans., pp. 308-321. En Boyd, 1961.
- MUIR, I.D., 1962 The paragenesis and optical properties of some ternary feldespar. Norsk. Geologisk Tides-Krift, Oslo, T.42 (feldspar volume), pp. 477-492.



E ESTADO DE INDUSTRIA Y MINERIA.

NACIONAL DE GEOLOGIA Y MINERIA

JULIO A. ROCA 651 - PISO 6°

CAPITAL FEDERAL

- 78-

- polanski, J., 1954 Rasgos geomorfológicos del territorio de la Provincia de Mendoza. Inst. Investigaciones Económicas y Tecnológicas, cuaderno de estudios e investigaciones nº 4. Mendoza, pp. 5-10.
 - Pleistoceno pedemontano entre los ríos Diemante y Mendoza (provincia de Mendoza). Rev. A Soc. Geol. XVII, 3 y 4, 1962 pp. 127-348.
- POWERS, H.A., 1955 Composition and origin of basaltic masma of the Hawaiian Islands. Geoch. Cosmoch. Acta, T. 7, pp 77-107
- RITTMANN, A., 1962 Volcanoes and their activity. John Wiley y Sons, Nueva York.
- ROSS, C.S., y SMITH, R.L. 1961 Ash flow-tuffs: their origin, geologic relations and identification U.S. Geol. Survey. Prof.

 Paper 366, pp. 1-81.
- SCHMIDT, R.G., 1957- Geology of Saipan Mariana Islands. Part 2: Petrology of the volcanic rocks. U.S. Geol. Survey. Prof. Paper 280-B, pp. 127-174.
- SHIRINIAN, K.G., 1963 Ignimbrites and tuffe-layras. Bull volc. T. XXV, pp. 13-18.
- SMITH, R.L., 1960 .- Ash flows. Bull. Geol. Soc. América, T.71, pp. 795-842.
- SMITH, J.V. y MAC KENZIE, W.A., 1958 The alkali feldspars: IV The cooling history of high-temperature sodium rich feldspars. Am. Min., T. 43, pp. 872-889.
- STARK, J.T. y HAY, R.L., 1963 Geology and petrography of volcanic rocks of the Truk islands, east Caroline Islands, U.S. Geol. Survey, Prof. Paper 409, pp. 1-40.
- STEINER, A., 1960 Origin od ignimbrites of the North Island, New Zealand: A new petrogenetic concepto. N. Zealand Geol. Survey, Bol. (n.s.) 68, pp. 1-42.
- TUTTLE, O.F. 1952- Optical studies on alkali feldspars. Am. Journ. Sci. Bowen volume, pp. 553-567.
 - "O.F. y BOWEN, N.L. 1958 Origin of granite in the light of experimental studies in the system NaAlSi3 08 KALSi308-Si02 HgO. Geol. Soc. America Mem. 74. pp. 1.153.
- WILLIAMS, H., 1941 Calderas and their origin. Univ. Calif. Publ. Depto. Geol. Sci., 25.
- TROGER, W.E., 1959 Optische Bestiming der Gesteinbildenden Minerale. Stuttgart.



STADO DE INDUSTRIA Y MINERIA

CIONAL DE GEOLOGIA Y MINERIA

ILIO A. ROCA 651 - PISO 6°

CAPITAL FEDERAL

LAMINAI

Fig. 1- Toba de aglutinación densa. (Traquiandesita). Huaico de la Fortuna. La deformación de las trizas es tan intensa que no se las puede individualizar. Las dos partes blancas corresponden a fenocristales de plagioclasa. Nic/x 80.

Fig. 2- Hialotraquita. Escerial al ceste de El Huecú Cristales de cristobalita dispuestos entre las tablillas de sanidina. Esta muestra corresponde a una facies poco vitrea del escerial. Nic. // x 350.

Fig. 3- Traquita Punta Alta Sur. Anortoclasa conteniendo un núcleo de oligoclasa cálcia. Nic. x 27.

Fig. 4- Traquiandesita. La Nariz. Fenocristal de plagioclasa con agujeros de disolución y reborde de feldespato alcalino, el cual creció despues de haber sido reabsorbido parcialmente el cristal de plagioclasa. Nic. x 80.

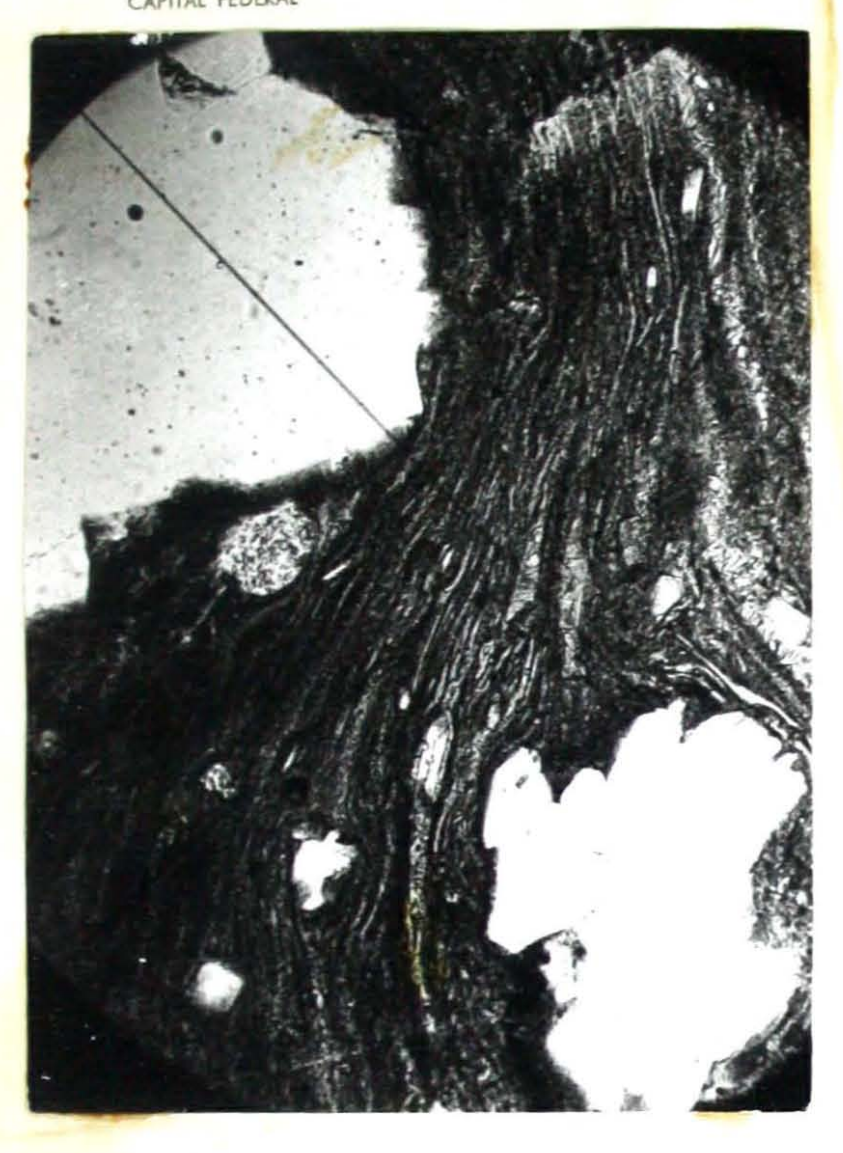


TARIA DE ESTADO DE INDUSTRIA Y MINERIA

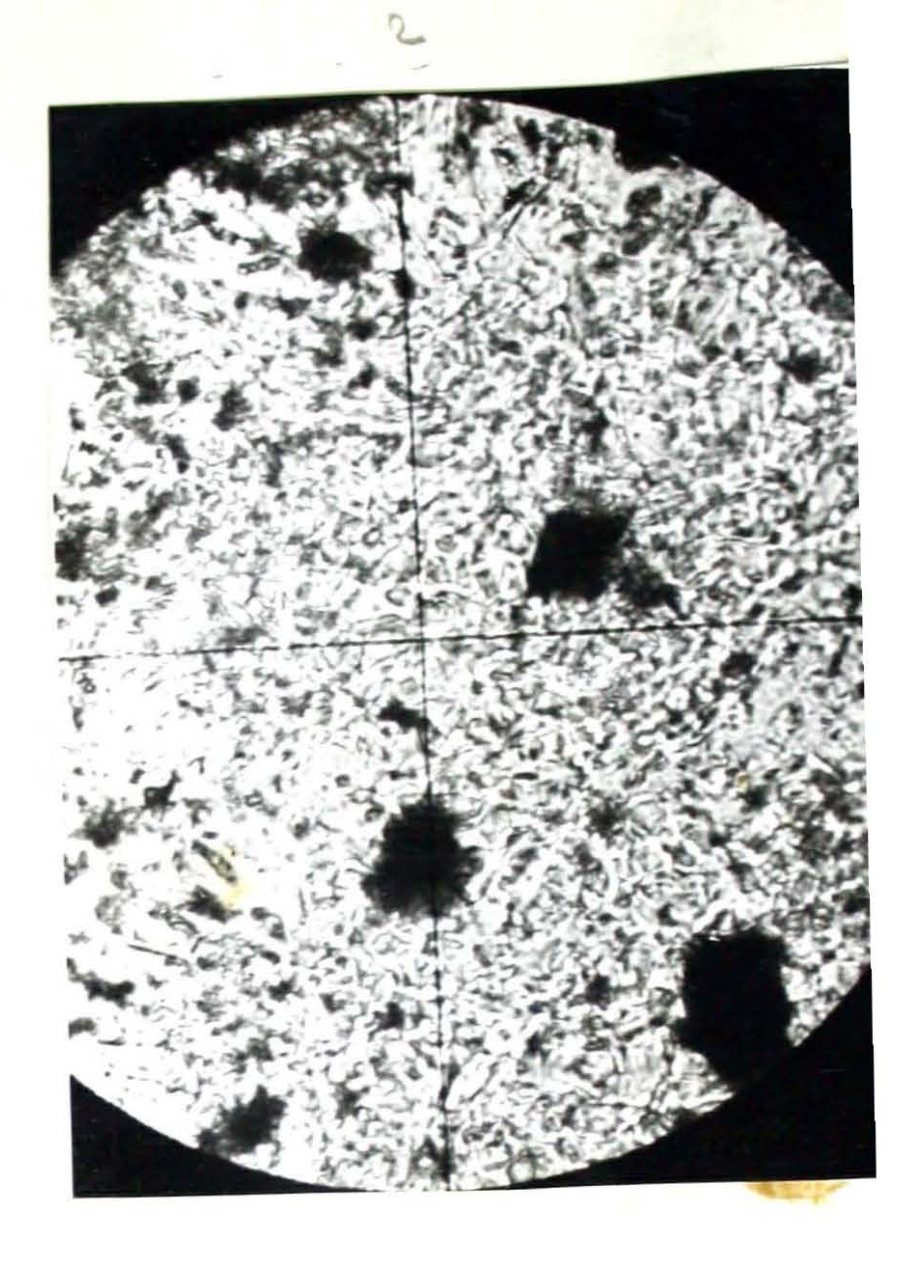
NSTITUTO NACIONAL DE GEOLOGIA Y MINERIA

Avdo. JULIO A. ROCA 651 - PISO 6°

CAPITAL FEDERAL



CAMF









STADO DE INDUSTRIA Y MINERIA CIONAL DE GEOLOGIA Y MINERIA LIO A. ROCA 651 - PISO 6° CAPITAL FEDERAL

LAMINA 2

Fig. 1.- Traquita. La Calle. Núcleo de oligoclasa cálcica en anortoclasa. Nic. x 25.

Fig. 2- Detalle de la Fig. 1. Limite poco definido entre la plagioclasa y la anortoclasa. Nic. x 80.

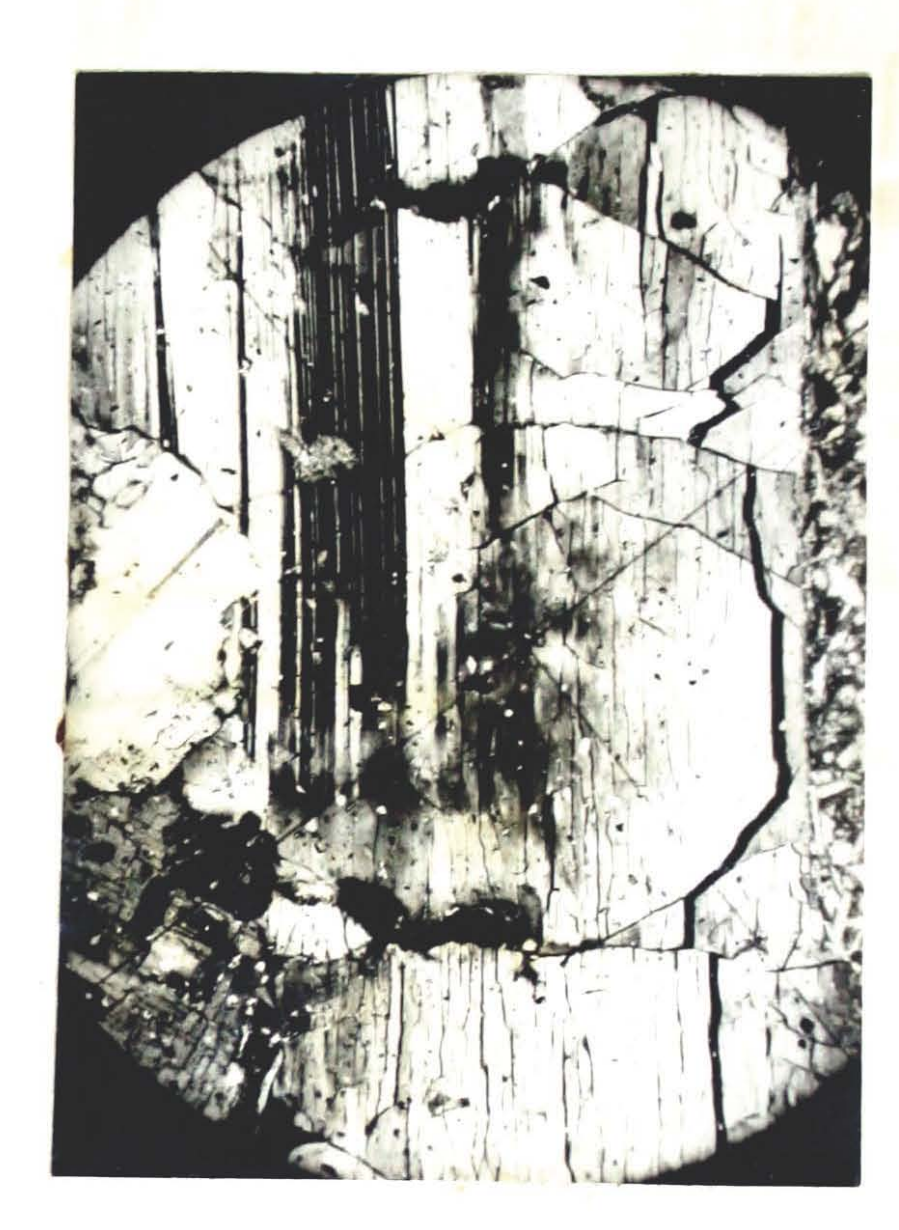
Fig. 3- Traquita. Punta Alta Sur. Anortoclasa, con las características maclas en enrejado, rodeando plagioclasa en una inclusión anitolítica. Nic. x 80.

Fig. 4- Traquiandesita. La Nariz. Fenocristal de plagioclasa donde aparecen entremezcladas andesina (oscura) y oligoclasa (clara). Cristales prismáticos de apatita han crecido posteriormente. Pequeños agujeros de disolución son también comunes. Nic. x 80.



SECRETARIA DE ESTADO DE INDUSTRIA Y MINERIA
INSTITUTO NACIONAL DE GEOLOGIA Y MINERIA
Avda. JULIO A. ROCA 651 - PISO 6°
CAPITAL FEDERAL





CAM IT







ESTADO DE INDUSTRIA Y MINERIA

IACIONAL DE GEOLOGIA Y MINERIA

JULIO A. ROCA 651 - PISO 6°

CAPITAL FEDERAL

LAMINA 3

Fig. 1- Traquita. Farellones de la Portada. Fenocristal de anortoclasa con múcleo de oligoclasa cálcica. Entre ambos, una zona de transición com puesta por oligoclasa sódica, Nic. x 28.

Fig. 2.- Detalle de la Fig. 1. La zona de transición tiene extinción inhomogenea, debido, a un crecimiento irregular dentro de ella de anortoclasa. Nic. x 80.

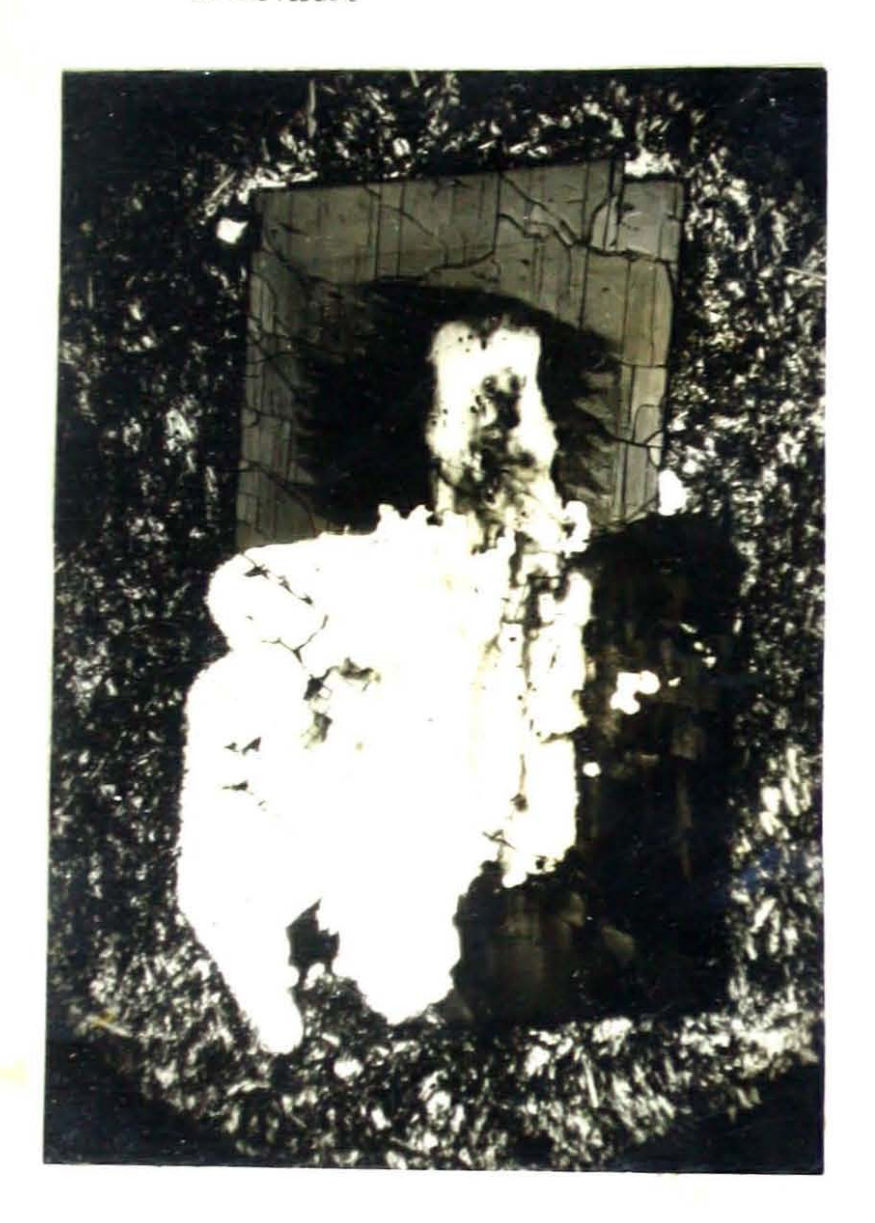
Fig. 3.- Traquiandesita. La Nariz. Múcleo de andesina cálcica en andesina ácida, que forman parte de un aytolito. Nic. x 28.

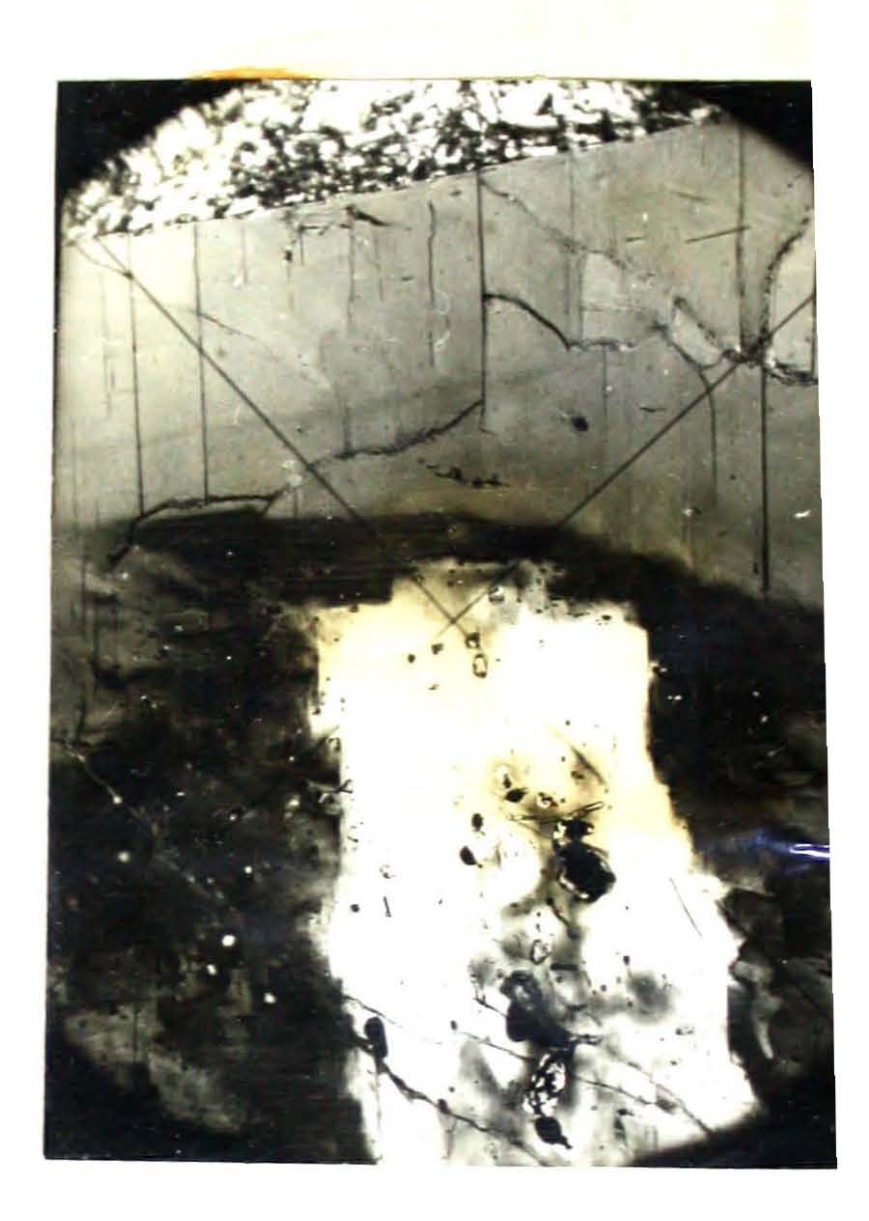
Fig. 4.- Traquiandesita. La Nariz. Cristal de plagioclasa con un núcleo compuesto por andesina cálcica rodeado por andesina sódica. Nic. x 75.

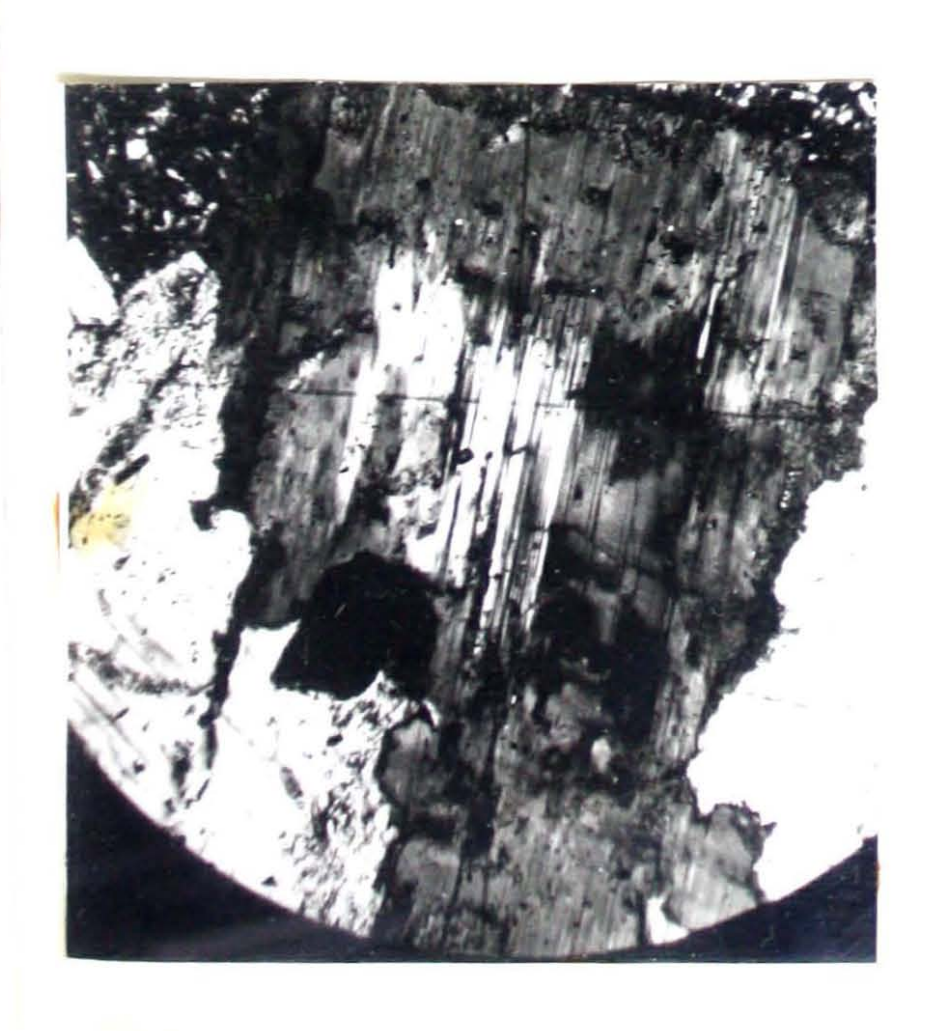




SECRETARIA DE ESTADO DE INDUSTRIA Y MINERIA
INSTITUTO NACIONAL DE GEOLOGIA Y MINERIA
Avdo. JULIO A. ROCA 651 - PISO 6°
CAPITAL FEDERAL









omía de la Nación Industria y Minería a de Minería



LAMINA 4

Volcán Payún Matrú visto desde la parte terminal del Escorial de la Media Luna. En primer plano, dicho escorial apoyándose sobre las Tobas del Portezuelo (tobas de aglutinación parcial incipiente). En último plano la depresión central del Payún Matrú que corresponde a la caldera. A la izquierda de la misma, el Co Negro y La Nariz, parcialmente cubiertos por la toba de aglutinación densa, que se extiende hasta parte del Filo Blanco. A la derecha de la caldera, el escorial de hialotraquitas de El Huecú.



ESTADO DE INDUSTRIA Y MINERIA

CIONAL DE GEOLOGIA Y MINERIA

ULIO A. ROCA 651 - PISO 6°

CAPITAL FEDERAL

LAMINA 5

Caldera del volcán Payún Matrú, vista desde el Sur de La Explanada. En primer plano, a la izquier da, material piroclástico y lavas hislotraquíticas. A la derecha, el escorial de traquita que rellena la parte Sur de la caldera. En último plano, los farellones abruptos que delimitan, al Norte y al Este, la caldera.



ESTADO DE INDUSTRIA Y MINERIA NACIONAL DE GEOLOGIA Y MINERIA JULIO A. ROCA 651 - PISO 6° CAPITAL FEDERAL





ESTADO DE INDUSTRIA Y MINERIA

IACIONAL DE GEOLOGIA Y MINERIA

JULIO A. ROCA 651 - PISO 6°

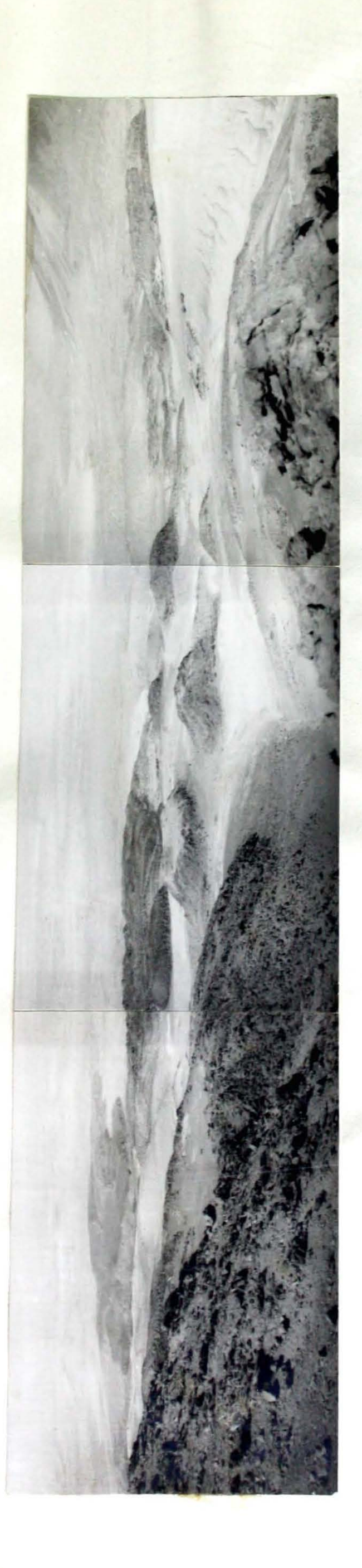
CAPITAL FEDERAL

LAMINA 6

Ladera sur del volcán Payún Matrú, cubierta por innumerables domos erógenos y escoriales de hialotraquita. En algunas lavas que aparecen en la margen izquierda de la fotografía, se pueden observar claramente las crestas de presión. En último plano a la derecha, el pie oriental del volcán Payún Matrú.



ESTADO DE INDUSTRIA Y MINERIA
ACIONAL DE GEOLOGIA Y MINERIA
JULIO A. ROCA 651 - PISO 6°
CAPITAL FEDERAL



CAMI S

Economía de la Nación de Industria y Minería taría de Minería



LAMINA Z

Fig. 1- Escorial de hialotraquita al oeste de El Huecú. Crestas de presión. Las elevaciones de la izquierda y las de la derecha de la fotografía, constituyen las crestas. La parte central corresponde al seno.

Fig. 2 - Detalle de la fotografía anteior, que corresponde a la pared de una cresta. Se pueden observar los bloques soldados per lava.

Fig. 3.- Portezuelo de los Payunes. Pequeño volcán andesítico cubierto parcialmente por las Tobas del Portezuelo.

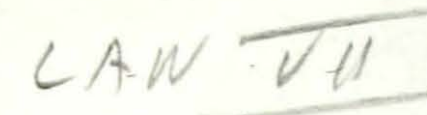
Fig. 4.- Escorial basáltico sobre las Tobas del Portezuelo (sin aglutimación) al ceste de La Calle. En el ángulo superior derecho se observan trozos del como piroclástico, que han sido arrastrados por lal lava.



TITUTO NACIONAL DE GEOLOGIA Y MINERIA

Avda. JULIO A. ROCA 651 - PISO 6°

CAPITAL FEDERAL





2



3

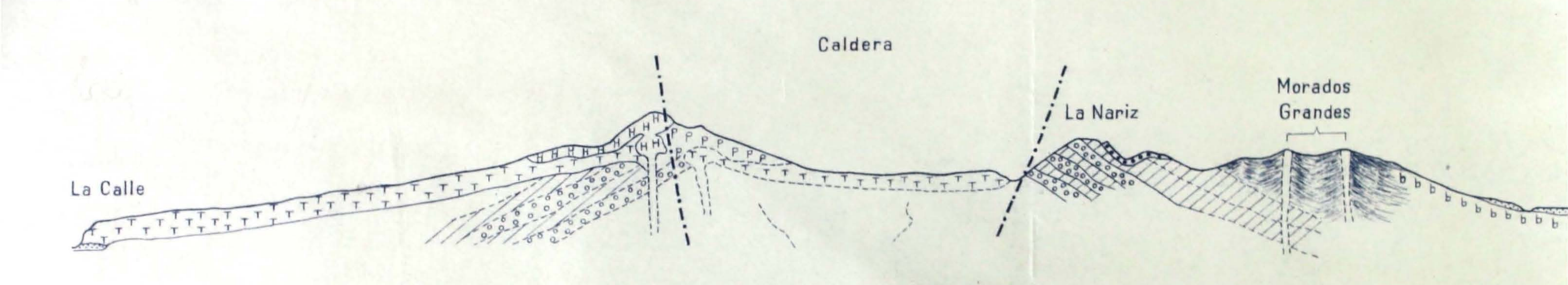


4



Perfil La Calle - Morados Grandes

escala 1:100.000





- P p piedra pomez
- traquitas

tobas del portezuelo aglutinación densa aglutinación incipiente

referencias

- b basaltos de los Morados Grandes
- mantos

mantos brechosos

rocas de La Nariz

- formaciones supuestas
- fracturas supuestas